2 6 4 П В 8 6 6 Р Д О. К Л А Д Ы

LV № 2 1972

Խմբագրական կոլեզիա

է. Գ ԱՖՐԻԿՅԱՆ, կենսաբանական զիտությունների դոկտու, Ա. Թ. ԲԱԲԱՅԿՆ, 2002 ԳԱ ակադեմիկոս, Ա. Ա. Ա. Ա. Մ. ԵԱՆ ՀՍՍՀ ԳԱ թղբակից-անդամ, Վ. Մ. ԵԱՌԱՅԱՆ, ՀՍՍՀ ԳԱ թղբակից-անդամ, Վ. Հ. ՀԱՄԲԱՐԶՈՒՄՅԱՆ, ակադեմիկոս, Վ. Հ. ՂԱՉԱՐՅԱՆ, ՀՍՍՀ ԳԱ թղբակից-անդամ (պատ. խմբագրի տեղակալ), Ս. Հ. ՄԻՐԶՈ-ԵԱՆ, ՀՍՍՀ ԳԱ թղբակից-անդամ Ս. Ս. ՄԿՐՏԻԶՑԱՆ, ՀՍՍՀ ԳԱ ակադեմիկոս, Ա. Գ. ՆԱԶԱՐՈՎ, ՀՍՍՀ ԳԱ ակադեմիկոս (պատ-խմբագիւ), Օ. Մ. ՍԱԳՈՆՋՑԱՆ, ՀՍՍՀ ԳԱ լորակից-անդամ, Մ. (, ՅՈՐ-ՄԻՔԱՅՈԼՅՎՆ, ՀՍՍՀ ԳԱ իսթակից-անդամ, Մ. (, ՅՈՐ-ՄԻՔԱՅՈԼՅՎՆ, ՀՍՍՀ ԳԱ

Редакционная коллегия

В А. АМБАРЦУМЯН, акалемия, Э. Г. АФРИКЯН, доятор биологических наук. А. Т. БАБАЯН, акалемия АН АрмССР. В. О. КАЗАРЯН, чл.-корр. АН АрмССР (зам. ота релактора), С. А. МИРЗОЯН, чл. корр. АН АрмССР, С. С. МКРТЧЯН, акалемик АН АрмССР, А. Г. НАЗАРОВ акалемих АН АрмССР, А. Г. НАЗАРОВ акалемих АН АрмССР (отв. релактор), О. М. САПОНДЖЯН, чл.-корр. АН АрмССР, А. А. ТАЛАЛЯН, чл.-корр. АН АрмССР, В. М. ТАРАЯН, чл.-корр. АН АрмССР, М. Л. ТЕР-МИХАЕЛЯН, чл.-корр. АН АрмССР, М. Л. ТЕР-МИХАЕЛЯН, чл.-корр. АН АрмССР, АН АрмССР.

писионичновнью

The building the state of the s	
II. Գ. Ռուբանովիչ— <i>Որոշ տինդությար իստեղրոցիֆերենցիալ հավասարումների ին-</i> գեցոր ժառին Ն. Բ. Ենգիբաշյան, Մ. Ա. Մնացականյան—Վիներ-Հոպֆի դիսկրետ հավասարումների	63
լուծման մասին Ա. Կ. Իասլաքյան — Հնմանգրի թեզմանրացած չարցերի գործակիցների գնանատականը	70
և բացարձակ զուգաժիտությունը։ Մնացորգի գնանատականը	
ԱՌԱԶԴԱԿԱՆՈՒԹՅԱՆ ՏԵՍՈՒԹՅՈՒՆ	
Ս. Ա. Մելքումյան—Ուզգանից, վերջավոր երկարության հեղթով կիսամարթության կահատկատային խնդիրը	87
ՏեՍԱԿԱՆ ՖԻԶԻԿԱ	
Բ. Ա. Բագիյան-Ածրումային Հառագայթումը պարրերական անմարթություններով	
և, Գ. Իոսիֆյան—էլեկարաժացնետոնի դիհաժիկայի ժատին որպես Ազգեցության	34
արվահաի Ֆիջլական, Քինքին	58
Ն. Մ. Ռեյլեսյան, Ջ. Հ. Ճրվասիայան, Հ. Հ. Չալթիկյան — Աժիետթիվի կառուց- վահրի ազգեցությունը չրային լուծույթում Երանց պերսուլֆատով կատալիտիկ օցոի- գացման կինձարկայի և ժեխանիզմի վրա	103
usen epite it	
Ա. Շ. Գալսայանոզում մահզահի հրկորսիդի վերականգնման ռեակցիայի բնույնի մասին	101
POESUBPE SESENTAL II	
Վ Հազաբյան, Ի. Ա. Ղազաբյան—Բույսձրի գծներատիվ զարգացման պրոցձսնե- րում արմատների գերի Հարցի շուրջը	110
ՄԻԶԱՏԱՔԱՆՈ ՒԹՅՈՒՆ	
U. U. Supjuhad-bildarjuh—tupapuph-qaimhaipqhqbhph bap mhumbhhp UU2U-hp (Coleoptera, Coccinellidae)	116
ULULTUANSI II.	
B. S. Pmppm=mrjmt - Thummithe, take State makes (Acarina Frienbunden)	759

СОДЕРЖАНИЕ

MATEMATHKA	Cab.
С. Г. Рубанович—Об икдексе некоторых сингулярных интегродифференци- вльных уравнений	63
Винера-Хопфа	70
рядов Лежандра. Оценка остатка	
теория упругости	
С. А. Мелкумян Контактизя валча для полуплоскост с пертинальным консчими разрезом	87
ТЕОРЕТИЧЕСКАЯ ФИЗИКА	
Р. А Бысили Переходное и тучение на периодически шероховатой по- верхности	912
ФИЗИЧЕСКАЯ ЛИМИЯ	
Н АІ Бейлерян, Дж. Чийларитян, член-корреспондент АН Армянской ССР О А. Чилгыкян — О влияний строения аминокислот на кинетику и механизм из каталитического окисления персульфатом калия в водных растворах	
АГРОХИМИЯ	,,,,
А III Галстян-О ферментатурном восстановлении звускиси маргания в почве	106
ФИЗНОЛОГИЯ РАСТЕНИЯ	
В О Камрян, И. А Каларян К нопросу о роли коряей в процессих гене- ратпиного развития растений	110
RH 101.0MOTHE	
С М Яблокоа-Хилорян—Повые виды жестьюкрылых-кокцинел ил ил ССТР (Coleoptera, Coccinel idae)	116
АКАРОЛОГИЯ	
А Т. Багдасарян—Эрцоф эндиме клеши на фисташке Авагія і туюрбуої-	193

LV 1972

YHK 517.43

MATEMATUKA

С. Г. Рубанович

Об индексе некоторых спагулярных интегродифференциальных уравнений

(Представлено чт-корр. АН Арминской ССР Р. А. Александринов 1 II 1972)

1. Пусть задан гладкий замкнутый контур I без самонересечений в илоскости комплексной переменной z=x/Iy. Рассмотрим интегродифференциальное уравнение

$$\frac{\left(u(t_0)u(t_0) + \frac{h(t_0)}{\pi t} \int \frac{u(t)dt}{t - t_0}\right) + c(t_0)u(t_0) + \frac{d(t_0)}{\pi t} \int \frac{u(t)dt}{t - t_0} + \int K(t, t_0)u(t)dt = f(t_0), \tag{1}$$

где функцив d(t), c(t), a(t), b(t) — кусочно гладкие на контуре l, $K(t, t_0)$ — некоторое ядро Карлемана, u(t) — некомяя функция на контуре l, а интегралы понимаются в смысле главного значения по Коши. В случае, когда в каждой точке контура l выполнены условия

$$a(t) - b(t) \neq 0 \tag{2}$$

$$a(t) - b(t) = 0 \tag{3}$$

это будет уравнение пормального типа.

В этом случае урависние (1) хорошо изучено (1-2).

Если условие (2) или (3) не выполнено в некоторых изолированных точках, в окрестности которых выполняются некоторые условия регулярности функций a(t) и b(t), то уравнение (1) также хорошо изучено (3 %). Ниже рассматривается случай, когда на некотором интервале — выполняется условие

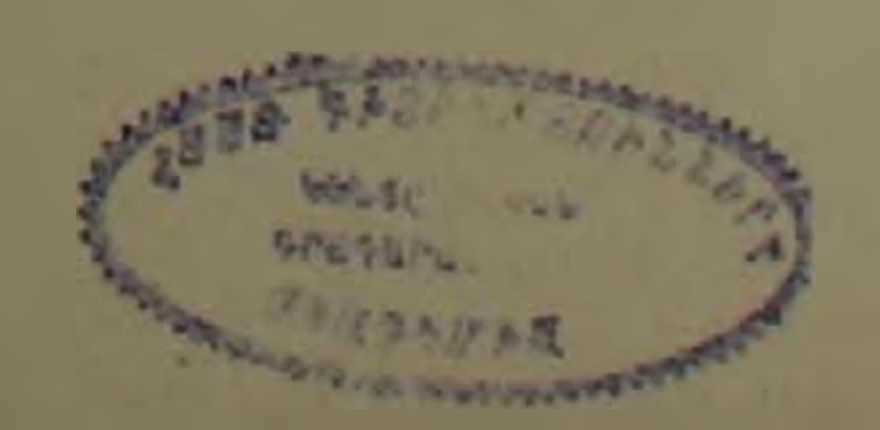
$$a(t) - b(t) = 0, \quad a(t) - b(t) = 0, \quad c(t) - d(t) = 0,$$
 (4)

а на дополнительном интервале I_{z} выполняется условне

$$a(t) + b(t) = 0, \quad a(t) - b(t) = 0, \quad c(t) = d(t) = 0.$$
 (5)

В случае, когда (4) или (5) ныполнено на всем контуре уравнение (1) также изучено (1).

Функции a(t), b(t), c(t), d(t), предполагаются достаточно гладкими на каждом из интерналов l_1 и l_2 (в отдельности). Введем обозначения:



$$u^{-}(t_{0}) = \frac{1}{2\pi i} \int_{t}^{\infty} \frac{u(t)dt}{t - t_{0}} - \frac{u(t_{0})}{2}, \qquad u^{-}(t_{0}) - \frac{1}{2\pi i} \int_{t}^{\infty} \frac{u(t)dt}{t - t_{0}} - \frac{u(t_{0})}{2}$$

Пространство $M(l_1, l_2)$ определим как множество всех функции u(t) на контуре l_1 для которых консчий пормя

$$\|u\|^2_{M(\ell_t, \ell_d)} \cong \|u\|^2_{L_{2d}} + \int_{\ell_1} |u|^*(t)|^2 |dt| + \int_{\ell_1} |u^{-1}(t)|^2 |dt|.$$

г te $\|u\|_{L(t)}^2 = \int\limits_t |u(t)|^2 \, dt|, \ u$ и u есть обобщенные производные

от и и и по касательному направлению на контуре 1.

В нашем случае уравнение (1) можно переписать в виде

$$Lu(t) = \begin{cases} u^{-t}(t) + z(t)u(t), & t \in I_1 \\ u^{-t}(t) - z(t)u(t), & t \in I_2 \end{cases} + Ku(t) = f(t), \tag{A}$$

где оператор K вполне непрерывен, как оператор, действующий из M (l_1, l_2) в $L_2(l)$, а z(l) гладкая функция на замыканнях интервалов l_1 и l_2 , нигде на контуре l не обращающияся в нуль.

Доказывается, что образ оператора L, действующего на M (l_1, l_2) в $L_2(l)$ замкнут, размерность ядра m и размерность коядра n оператора l конечны, и вычисляется индекс оператора

2. Обозначим через t_1 и t_2 начало и конец (по отношению к по-ложительному направлению обхода контура l) интервала l_1 .

Лемма 1.

При выполнении условий

$$\underset{t_{1}\ni t-t_{1}}{\arg \lim z(t) + \arg \lim z(t) + 2\frac{1}{2}} (2p_{1} + 1) =$$

$$\arg \lim z(t) + \arg \lim z(t) + 2\frac{1}{2} (2p_{2} + 1) =$$

$$\underset{t_{1}\ni t-t_{1}}{\arg \lim z(t) + 2} (2p_{2} + 1) =$$
(B)

ни оля каких целых чисел p_1 и p_2 , гое есть угол между положительным направлением касательной к точке t_i , i=1,2, и осью OX, оля $u\in M(l_1,\ l_2)$ имеет место оценка

$$||u||_{\mathcal{M}(t_{i}, t_{i})}$$
 const $||Lu||_{L(t)} + ||K_{0}u||_{L_{i}(t)}$, (6)

 $toe\ K_0$ — есть некоторый вполне непрерывный оператор из $M(l_1,\ l_2)$ в $L_2(l)$.

Теорема 1.

Оператор I, как оператор, действующий из М(I₁, I₂) в I₂(I) имеет конечный индекс.

Пусть оператор T действует из банахова пространства B_1 в банахово пространство B_2 .

Тогда, если T имеет конечный индекс, то существует оператор P (регуляризатор), действующий из B_a в B_b , такой, что

$$TP = E - K_1$$
, $PT = E - K_2$, $IndP = Ind7$,

где E—тождественный оператор, K_1 и K_2 — вполие непрерывные операторы.

Лемия 2

Пусть функции $x_1(t)$ и $x_2(t)$ весконечно вифференцируемы на замыкиниях интервалов , и t, и нигое на контуре t не равны нулю, а функция $x_1(t) - x_2(t)$ негрерывна на всеч контуре t и равна на нулю на концах интервала t_1 .

Пусть L_1 —есть оператор вида (A) с коэффициентом L_2 с коэффициентом $r_2(t)$ Тогда, если P_1 есть регуляризатор оператора L_1 , то

$$L_{2}P_{1}v(t) = \begin{cases} v^{-1}(t) - \frac{x_{2}(t)}{x_{1}(t)} v^{-1}(t), & t \in I_{2} \\ -v^{-1}(t) - \frac{x_{2}(t)}{x_{1}(t)} v^{-1}(t), & t \in I_{2} \end{cases} + Kv(t),$$

гое $K-вполне непрерывный оператор из <math>M(l_1, l_2)$ в $L_2(l)$.

Эта лемма доказывается с помощью разбиения единицы и локального вычисления L_*P_1 . Так как индекс оператора в фигурных скобках легко вычисляется (1), то лемма 2 помогает свести вычислеине индекса оператора L_* к вычислению индекса оператора L_* коэффициент которого может иметь простой вид.

(HMCCT MCCTO PREDICTED and $L_3P_1=\operatorname{Ind} L_3$ — and $P_1=\operatorname{Ind} L_3$ — and L_1

Теперь рассмотрим оператор вида

$$L_{u}u(t) = \begin{cases} u'(t) + cu(t), & t \in l_1 \\ u'(t) + u(t), & t \in l_2 \end{cases}$$
 (7)

Предположим, что 1 есть окружность раднуса R>0

$$t_1 = -Ri$$
, $t_2 - Re^{i\phi}$, $-\frac{\pi}{2} < \phi$

и выполнены условия (B), то есть константа c не отрицательна и $2\psi_{z}=0$, где – $\pi<$ игр $c<\pi$.

Лемма 3.

(*)).

$$\frac{11}{10}$$
, ecan $\arg c + 2\frac{1}{2} > 0$
 $\frac{1}{10}$, ecan $\arg c + 2\frac{1}{2} < 0$.

Вернемся к произпольному контуру I. Впедем обозначения

$$a_{+}(t_{i}) = \lim a(t), \quad a_{-}(t_{i}) = \lim a(t), \quad i = 1, 2$$

и l = 1, 2 - углы между положительным направлением касательной

и точке ℓ_i и осью ОХ, выбранные таким образом, что сели точку касания непрерывно перемещать из точки ℓ_1 в точку ℓ_2 в положительном паправления вдоль контура ℓ_i в перейдет в ϕ_2 .

Заметим, что в зависимости от контура I разность $z_2 = \varphi_3$ может быть сколько угодно большой.

Целые числа к, и к., определим из неравенств

$$-\pi < \arg \pi \ (t_i) - \arg \pi \ (t_i) + 2\pi i = 2\pi k_i < \pi, i = 1, 2$$

Теорема 2.

$$\operatorname{Ind} L = \frac{\arg z}{2} \frac{(I_1) + \arg z}{2} \frac{(I_2)}{2} = \arg z \frac{(I_2)}{2} - \arg z \frac{(I_2)}{2} + \frac{2}{2}$$

$$+k_1-k_2+\left|\frac{\ln r(t)}{2\pi t}\right|_{t_1}-\left|\frac{\ln r(t)}{2\pi t}\right|_{t_1}$$

Производя замену независимой переменной и функции, и применяя лемму 2, теорему 2 можно свести к лемме 3.

Ереванский политехнический институт им. К. Маркса

II 4 0/00/04/04/02

Որոշ սինզուլյար ինտեզրողիֆերենցիալ ճավասարումների ինդերսի մասին

արդիս ծում դիտարիվում է (1) հավառարումը կոմպիհըս հարթությունը ողորկ, առանց ինթնահատման և կոնտուրի վրա, հրր տեղի ունեն (3), (4) պայմանները։ Այդ դնպքում (1) հավասարումը համարժնք է (A) հավասարհմանը։ Երբ է օպերատուրի և (1) դործակրդը բավականաչափ ողորկ է և ըստվարարվում են (8) պայմանները, ապացուցված է (1) հավասարման նլուսերա թունը և այդ հավասարման ինպերություն և այդ հավասարման ինպերությունները և արև հասարակրդնված է լևմմա է ուրը հնարավորություն է աայիս համանանանը տարակրդնված է լևմմա է ուրը հնարավորությերն է աայիս համանատելու տարբեր գործակիցներ ունեցող օպերատորների ինդերսները և անալիտիկ չարունակության մեխողը։ Ցույց է արված, որ ինպերությանը կարնի է հաչվել հետևյալ ըանաձևույն

and
$$I = \frac{\arg_{+}(t_{1}) + \arg_{2}(t_{1})}{2\pi}$$
 arg 2π

$$+ k_{1} + \frac{|\ln_{2}(t)|}{2\pi i} = \frac{|\ln_{2}(t)|}{2\pi i}$$

upmby'

$$\pi \leqslant \arg \pi(t_l) + \arg \pi(t_l) + 2\pi t_l + 2\pi k_l + \pi, \quad i = 1, 2.$$

JHIEPATSPA - PPUHUDUPPSUPL

11. Н. Мускелишни и. Спитулярные интегральные уравнения. Изд «Наука», 1968 Н П Векуо. Системы сингулярных интегральных уравнений. Изд «Наука», 1970 Ф Л Гохов. Краевые падачи. М., 1963. Ч П Векуа. Тр. Тоилисск, матем института АН Груг ССР, т. 18, стр. 307 (1951) В В Хнеделидое, Тр. Тоилисск. матем института АН Груз. ССР, т. 23, стр. 3 (1957) В Л А Чиким. Уч зап Каланск. ун та, т. 113, кн. 10 (1953). Н Е Говмасян. Дифференциальные уравнения, т. 3, вып. 1, (1967) В С. Г. Михлим. Многомерные сингулярные интегралы и интегральные уравнения, Фил. мат. гиз., 1962.

LV

1972

2

3 TK 517-9

МАТЕМАТИКА

Н. Б. Енгибарян М. А. Мнацаканян

К решению дискретных урагисний Винера-Хопфа

(Представлено академиком В. А. Амбаргукином 12/11/1972)

Бесконачные системы линейных алгебранческих уравнений с тенлицевыми матрицами вида

$$\sum_{j=0}^{\infty} c_{j-k} x_j = b_k, \quad k = 0, 1, 2, \dots$$
 (1)

именуемые в литературе дискрстными уравнениями Винера-Хонфа, изучались многими авторами. В работе М. Г. Крейна (1) построена теория уравнений (1) на основе мстода Винера-Хонфа. В книге П. Ц. Гохберга и П. А. Фельдмана (2) развиты проекционные методы их решения.

В настоящей зам тке предлагается новый метод решения операторного уравнения вида (1). Метод исходит из принципа инвариантности Амбарцумяна, ранее услешно примененного к решению скалярных и операторных интегральных уравнений Винера-Хонфа (200).

1. Пусть E - комплексное бантхово пространство и <math>R банахова алгебра с единицен I линейных непреравных операторов, действующих в E. Пусть $b_k \in E$, $k=0,1,2,\ldots$ и $a_k \in R$, $k=0,-1,\ldots$ причем

$$|a_k| \le \{l_1(R), \text{ r. e. } \sum_{k} \|a_k\| < \|b_k\|_0 \in M$$
 r. e., $\max_{k} \|b_k\| < \|a_k\| < \|a_k\|$

Рассмотрим дискратное уравнения Винера-Холфа второго рода

$$x_k - i \sum_{j=0}^{\infty} a_{j-k} x_j = b_k, \qquad k = 0, 1, 2, \dots$$
 (2)

при |A < |a_1|, где a_ первое собственное число матрицы. Введем оператор-функции

$$G_{-}(s) = (2\pi i)^{-1} \sum_{k=0}^{\infty} o_k s^k, \tag{3}$$

$$G_{-}(s) = (2\pi i)^{-1} \sum_{i=1}^{n} a_{-k}(-s)^{-k}, \tag{4}$$

голоморфиые соответственно внутри и вне единичного круга |s|<1 и непрарывные вилоть до его границы Γ . Согласно $(3)=\{4\}$,

$$a_k = \int_1^1 G_-(z) z^{-k-1} dz, \quad k = 0, \tag{5}$$

$$a_{-k} = \int_{\mathbb{T}} G_{+}(\zeta)(-1)^{k-1} d\zeta, \ k > 0.$$
 (6)

Наряду с урависнием (2) рассмотрим следующее вспомогательное уравнение

$$y_k(s) = L \sum_{i=0}^{\infty} a_{j-k} y_j(s) = (-s)^k l, \quad k = 0, 1, 2 \dots$$
 (7)

отпосительно вектора $|y_k(s)|_{s}^{\pi}$; оператор-функции $y_k(s) \in R$, |s| = 1. Решение уравнения (2) выражается посредством $|y_k|$ следующим воразом:

$$x_k = \lim_{r \to 1^{-n}} \int y_k(s) B(rs) ds, \tag{8}$$

где

$$B(s) = (2\pi i)^{-1} \sum_{m=0}^{\infty} b_m(-s)^{-m}$$
 (9)

В частности, если $\sum_{m=0}^{\infty} \|b_m\| < \infty$, формула (8) принимает пил

$$\sum_{\Gamma} y_k(s)B(s)ds. \tag{10}$$

Займемся решением уравнения (7). Перенишем эту систему без первого уравнения, то есть, при $k=1,\,2,\,\ldots$, в виде

$$y_{k+1}(s) = i \sum_{j=0}^{\infty} a_{j-k} y_{j-1}(s) = (-s) (-s)^{k} I + i a_{-k-1} y_0(s), \quad k = 0, 1, 2 \dots$$
(11)

Сравинвая (11) с (7), замечаем, что вектор $\|y_k\|_{L=0}$ удовлетвориет уравнению с той же матрицей, что и вектор $\|y_k\|_{L=0}$. С другой стороны, принимая во внимание (6), замечаем, что правую часть (11) можно представить в виде супериозиции по з правой части (7). С учетом е ципственности решения (2) получаем следующее рекуррентное соотношение

$$y_{k-1}(s) = sy_k(s) \left[\int y_k(t)G_k(t)dt, |y_0(s)|, k=0, 1, 2, \dots \right]$$
 (12)

позволяющее определить оператор-функции $y_k(s)$ по $y_n(s)$.

2. Займемся определением оператор-функции y₀(s). Введем производящую функцию

$$W(p,s) = \sum_{k=0}^{\infty} y_k(s) p^{-k-1}, \tag{13}$$

голоморфиую по s внутри и по p вне единичного круга. Умножая (12) на p^{-k-1} и суммируя по k, волучаем

$$p W(p, s) - y_0(s) = -s W(p, s) - \int W(p, s)G_n(s)ds \, y_0(s).$$

Отскода

$$W(p,s) = \frac{z_{-}(p)z_{+}(s)}{p+s}.$$
 (14)

где

$$\varphi_{-}(p) = I + \int W(p, z)G_{-}(z)dz,$$
 (15)

и для симметричности записи сделано переобозначение ϕ (s)= $y_0(s)$.

Оператор-функции и непрерывны вилоть до границы.

Функцию z (s) также можно выразить через W(p, s). Подставляя в первое уравнение (k=0) системы (7) выражение (5) для a_k и меняя порядок суммирования в интегрирования, получаем

$$z_{+}(s) = I + \int_{\mathbb{R}^{d}} G_{-}(1) W(1, s) d1.$$
 (16)

В свою очередь, согласно (14), W выражается через у. и э. Подставляя это выражение в (15) и (16), приходим к следующей систече операторных уравиений относительно у к у.:

$$\frac{1}{2}(s) = 1 + \int \frac{1}{s} G(s) \frac{1}{2} (s) \frac{1}{2} (s) ds,$$

$$\frac{1}{2}(s) = 1 + \int \frac{1}{s} \frac{1}{s} \frac{1}{s} (s) \frac{1}{2} (s) \frac{1}{2} (s) ds.$$
(17)

Аналогичная системя нелинейных уравнений была получена в От при решении интегральных уравнений Винера-Хонфа, Следун методу, изложенному в (*), систему (17) можно свести к раздельным сингулирным уравнениям относительно

Решение этих сингулярных уравнений в скалярном случае приводится в кинге (°). Там же исследован случай, когда э и G конечные матрицы,

3. После определения оператор-функций э (s), оператор-функции ум(s) могут быть найдены одним из сл дующих двух способов:

- я) из рекуррентного соотношения (12). Напомины, что $y_n(s) = \varphi(s)$.
- б) находится оператор-функция W(p, s), (14), коэффициенты разложения которой по отрицательным степеням p суть $y_k(s)$. Как это следует из (13), $y_k(s)$ представлиются в виде контурных интегралов

$$y_{A}(s) = (2\pi i)^{-1} \int_{\Gamma} W(\rho, s) \rho^{k} d\rho$$
 (18)

Замстим, что знание з (х) позволяет апалогичным образом решить также уравнение, транспоинрованное к (2).

4. В том частном случае, когда $|a_k|^2$, и b_k , действительные числа, причем проблема моментов на [-1,1] разрешима для последовательностей $|a_k|^2_0$, $|a_k|^2_1$ и $|b_k|^2_0$, то есть, возможно представление

$$a_{k} = \int_{S^{k}} s^{k} ds \quad (s), \quad k \ge 0; \qquad a_{-k} = \int_{S^{k}} s^{k} ds \quad (s), \quad k \ge 0;$$

$$b_{k} = \int_{S^{k}} s^{k} d\omega(s) \quad k \ge 0; \qquad (19)$$

решение системы (2) сводится к решению следующей системы функциональных уравнений

$$z_{+}(s) = I + \int_{0}^{1} \frac{ss}{1-ss}, \ z_{+}(s)z_{+}(s')dz_{+}(s'),$$
 (20)

$$z = (s) - 1 + \int_{0}^{1} \frac{1}{1 - ss} z + (s) z \cdot (s') dz \cdot (s').$$
 (21)

Хотя уравнения (20), (21) могут быть решены в явном виде, целесообразно решать их численно, ограничинаясь при этом в щественными значениями аргументов.

Авторы выражают благодарность академику В. А. Амбарцумяну за ценные обсуждения.

Институт математики Академии наук Арминской ССР Бираканская астрофизическая обсерватория

L. P. DESPRIEBLIN, IF. IL BRUSHING

Վիներ-Հույֆի դիսկրետ ճավասաբումների լուծման մասին

կարևը։ սուկյան կուծվում են իվորևը, իսկ տրու կունարին հունարին հայաստուն հունարին հուրարին հունարին հո

73

JIHTEPATYPA - PPRAILIGEPSOFE

¹ М Г Крейн, УМН. г. 13, нып. 5, 3, 1958 ² И Ц. Гохберг, И А Фельдман, Уравнения в свертках..., М., 1971. ¹ В А Анбирцумян, Научные труды, т. 1, Ереван, 1960 ⁴ В. В. Соболев. Перенос лучистой эпертии, М., 1956 ² И. Б. Енгибарян, ДАН Арм. ССР, т. 1.1V, № 1 (1972) ⁴ И. И Мисхелишения, Спитулярные интегральные уравнения, М., 1968

LV 1972 2

MAK 517.5

MATEMATHKA

А. К. Таслакян

Оценка коэффициентов и абсолютная сходимость обобщенных рядов Лежандра. Оценка остатка

(Представлено академиком АП Армянской ССР А. Л. Шагиняном 18 II 1972)

В работе (1) установлено условне разложимости функции в ряд Фурье по квазиаозиномам Лежандра, а именно

$$f(x) = \sum_{n=0}^{\infty} a_n P_n(x),$$

где x = (0,1)

$$P_{n}(x) = \frac{\sqrt{\gamma_{n}^{2} + \gamma_{n}^{2}}}{2\pi i} \int_{C} \prod_{i=0}^{n-1} \frac{z_{i} + \gamma_{n}^{2} + 1}{z_{i} - \gamma_{n}^{2}} \frac{x^{z_{i}}}{z_{i} - \gamma_{n}^{2}} dz; \qquad a_{n} = \int_{0}^{1} f(x) P_{n}(x) dx$$

$$0 < \gamma_{0}^{2} < \gamma_{1}^{2} < \cdots < \gamma_{n}^{2} < \cdots < \gamma_{n}^{2} < \cdots < \gamma_{n}^{2} = \gamma_{n}^{2} + 1, \quad \gamma_{n}^{2} = O(n),$$

а контур C здесь, и впредь в аналогичных случаях, охватывает окрестности пулей знаменателя подкитегральной функции.

В настоящей работе оценизается скорость коэффициента Фурье a_n , с которой он стремится к иулю, доклывается абсолютная сходимость обобщенных рядов Лежандра и получастся сценьа остатка.

Теореми 1, Пусть f(x)-функция с ограниченным изменением на $\{0,1\}$, V есть полное изменение функции f(x) на $\{0,1\}$, и пусть a_n коэффициент Фурье функции f(x). Тогда

$$|a_n| < \frac{CV}{R_0}$$
 (1)

где R, есть единственный положательный корень уравнения

$$\ln \frac{1}{x} = 2 \sum_{n=0}^{n} \frac{\tau_n^2}{R_n^2 + \tau_n^2}.$$

который стремится к бесконечности с такой же быстротой, как и п, а С абсолютная постоянная.

Доказательство. Так как f(x) есть функция с ограниченным изменением, то ее можно представать

$$f(x) = z_1(x) - z_2(x)$$

где 🚎 (х), 🚎 (х) монотонные функции. Следовательно,

$$a_n = \int_0^1 f(x) P_n(x) dx = \int_0^1 \varphi_1(x) P_n(x) dx - \int_0^1 \varphi_2(x) P_n(x) dx = I_1 - I_2.$$

Имсем

$$P_n(x) = \frac{\sqrt{2\tau_n^* + 1}}{2\pi i} \int_{0}^{\pi - 1} \frac{\xi + \gamma_n^* + 1}{\xi - \gamma_n^*} \cdot \frac{x^{\xi}}{\xi - \gamma_n^*} d\xi,$$

В качестве контура C целесообразно взять $s = R_1 = r$ где $R_1 = R_1 + \overline{1-\delta}$, $\delta = (0 < \delta < 1)$ произвольное, но достаточно малое число.

Далее, используя теорему о среднем значения, получаем

$$I_{1} = \varphi_{1}(1) \int_{x_{1}}^{1} P_{n}(x) dx = -\varphi_{1}(1) \frac{\sqrt{2\gamma_{n}^{*} + 1}}{2\pi i} \int_{x_{1}^{*}}^{n-1} \frac{\xi + \gamma_{n}^{*} + 1}{\xi - \gamma_{n}^{*}} \frac{x_{1}^{\xi + 1} d\xi}{(\xi + 1)(\xi - \gamma_{n}^{*})}.$$

Обозначим

$$I_{1} = -\varphi_{1}(1) \frac{1}{2\pi i} \sum_{i=0}^{n-1} \frac{\xi + \gamma_{i}}{\xi - \gamma_{i}} \frac{e^{-i\xi}}{\left(\xi + \frac{1}{2}\right)(\xi - \gamma_{n})} d\xi.$$

В работе (1) доказано

$$x^{n}P_{n}(x) = \sqrt{\frac{\pi}{2}} \sqrt{\frac{\pi_{n}R_{0}}{(R_{0}^{2} + \pi_{0}^{2}) \psi^{n}(1)}} \cos \left[\pi(R_{0}) + \Theta \right] + O(1), \quad (2)$$

где

$$|\mathcal{P}'(1)| = 4R_0^2 \sum_{i=0}^{n} |(R_0^2 + \gamma_i^2)^2|, \quad |\mathcal{P}'(1)| < M,$$

$$= (R_0) = -R_0 - 2 \sum_{i=0}^{n} |\operatorname{arctg} \frac{R_0}{r_0}|, \quad \Theta = \operatorname{arctg} \frac{r_0}{r_0} \frac{R_0}{r_0}.$$

Следовательно

$$I_{1} = -z_{1}(1) \left[\frac{z}{2} \right] \frac{z_{0}R_{0}}{(R_{0}^{2} + z^{2}) + (1)} \cdot \frac{\cos[z(R_{0}) + \Theta]}{R_{0}} x_{1} \cdot o(\frac{1}{R_{0}})$$

и окончательно

$$|I_i| < C \frac{|F_i(1)|}{R_0}$$

Таким же путем можно получить.

$$|I_2| < C \frac{|p_2(1)|}{|\kappa_\alpha|}.$$

$$|a_n| < \frac{CV}{R_n}$$
.

Теорема доказана.

Теорема 2. Пусть f'(x) функция с ограниченным и менением на $\{0,1\}$ V_1 есть полное изменение функции f(x) на $\{0,1\}$. Тогда

$$|a_n| < \frac{C_1 V_1}{R_0^2}. \tag{3}$$

Доказательство. Обозначим

$$I_n(t) = \int_0^t P_n(x) dx.$$

Пмеем

$$a_n = \int_0^1 f(t) P_n(t) dt - \int_0^1 f(t) dI_n(t) = -\int_0^1 f(t) I_n(t) dt$$

так как

$$I_n(1) = I_n(0) = 0.$$

Поступав впалогично, как и выше получим доказательство георемы. Следствие 1. Пусть $f^{(p)}(x)$ (p>1) — функция с ограниченным изменением на [0,1], V_p — эсть полное изменение функции $f^{(p)}(x)$ на [0,1].

Тогда

$$|a_n| < \frac{C_p V_p}{R_0^{n+1}}. (3)$$

Те према 3. Если f'(x) есть функции с ограниченным изменением на [0.1], то ряд

$$f(x) = \sum_{n=0}^{\infty} a_n P_n(x)$$

сходится абсолютно в промежутке (0,1).

Доказательство. Имеем

$$a_n = \int_0^1 f(x) P_n(x) dx = -\int_0^1 f'(x) I_n(x) dx.$$

С другой стороны, так как

$$|P_n(x)| < M_1, \quad x \in \{0,1\}$$

й используя (3), получаем

$$\sum_{n=p}^{u} |a_{n}P_{n}(x)| \leq C_{2} \sum_{n=p}^{u} \frac{1}{R_{0}^{2}} < C_{2} \sum_{n=p}^{\infty} \frac{1}{R_{0}^{2}} < \varepsilon.$$

так как R — с той же скоростью, что и п Теорема доказана

Следствие 2. Если $f'(x) \in \text{Lip}_2$ (2 = 1), то ряд

$$f(x) = \sum_{n=0}^{\infty} a_n P_n(x)$$

сходится вбсолютно в промежутке (0.1).

— Оценка остатка. Рассмотрим функцию. (³)

$$L_n(x) = \int_0^1 |K_n(x, t)| dt.$$

rae (1)

$$K_n(x, t) = \frac{\sqrt{xt}}{2\pi i} \int_{c}^{\pi} \prod_{i=0}^{\xi+\gamma_i} \sum_{i=0}^{z+\gamma_i} x^{\xi} d\xi \frac{1}{2\pi i} \int_{c}^{\pi} \prod_{i=0}^{z+\gamma_i} \frac{z+\gamma_i}{z-\gamma_i} \frac{t^{z} dz}{z+\xi+\frac{1}{2}}.$$

Лемма. Для любых х Е (0.1) и ГЕ (0.1) верно

$$L_n(x) < C_3 \sqrt{R_0} \ln R_0 \tag{4}$$

Доказательство. В самом деле, пусть $x \in (0,1)$, тогда для достаточно малого h ($h=\frac{1}{VR_0}$) весь сегмент [x-h,x+h] также принадлежит к (0,1). Функцию $L_n(x)$ запишем в віде

$$I_{n}(x) = \int_{0}^{x-h} |K_{n}(x, t)| dt + \int_{x-h}^{x+h} |K_{n}x, t| dt + \int_{x-h}^{1} |K_{n}(x, t)| dt =$$

$$= I_{n+1}(x) + I_{n+2}(x) + I_{n+3}(x).$$

В работе (1) доказано, если

$$|A_{n}(x)| = \int_{0}^{x-h} |K_{n}(x, t)| dt + \int_{x-h}^{1} |K_{n}(x, t)| dt.$$

$$|B_{n}(x)| = \int_{0}^{x+h} |K_{n}(x, t)| dt,$$

то верно

$$|A_n(x)| < \frac{C_3}{1 |R_0|}$$
: $|B_n(x)| < C_5 \ln R_0$

следовательно

$$|K_n(x,t)| < C_t \mathbb{I} R_0, \quad 0 \le t \le x - h, \quad x+h \le t \le 1.$$

$$|K_n(x,t)| < C_t R_0 \ln R_0, \quad x-h \le t \le x + h.$$

Следствие 3. Если (с) то частная с мма се обобшенного ряда Лежандра удовлетворяет

$$|S_n(x)| < MC_A |R_n | \ln R_n \le C_a |R_n | \ln R_n$$
 (5)

В самом деле, блигодаря (4) имсем

$$|S_n(x)| \leq M \int_0^1 |K_n(x, t)| dt < MC_n + \overline{R}_n \ln R_n \leq C_n + \overline{R}_n \ln R_n$$

Следствие 4. Если f(x) есть функция с ограниченным изменением на [0,1]. V—есть полное изменение на [0,1], то

$$|S_n(x)| < C_x V \ln R_0 \tag{6}$$

В самом деле, имеем

$$S_n(x) = \int_{\mathbb{R}^n} \{x\} K_n(x, t) dt + \int_{\mathbb{R}^n} \{x\} K_n(x, t) dt = I_1(x) - I_2(x),$$

rae

$$I_1(x) = \int_0^1 \varphi_1(x) K_n(x, t) dt + \int_{x-h}^{x-h} \varphi_1(x) K_n(x, t) dt + \int_0^1 \varphi_1(x) K_n(x, t) dt$$

$$I_{\sigma}(x) = \int_{0}^{\infty} \varphi_{\sigma}(x) K_{n}(x, t) dt + \int_{0}^{\infty} \pi_{n}(x) K_{n}(x, t) dt = (x) K_{n}(x, t) dt$$

В дальнейшем поступаем так, как в работе (1).

Теорема 4. Пусть f(x) имгет производные до p-го порядка (p-1) включительно, и пусть $|f^{(p)}(x)| \leq M_p$. Тогда

$$|R_n(f, x)| < C_{\tau} \frac{\ln R_0}{R_0^{n-\frac{\tau}{2}}} M_p.$$
 (7)

Доказательство. Имеем

$$R_n(f,x) = \sum_{k=n+1} a_k P_k(x) = \lim_{m \to \infty} \sum_{k=n+1} a_k P_k(x) = \lim_{m \to \infty} S_m(x) = S_n(x).$$

где

$$S_m(x) = \int f(t)K_m(x, t) dt$$

$$S_n(x) = \int f(t)K_n(x, t) dt$$

Интегрируя р раз по частям, получаем

$$S_m(x) = (-1)^p \int_0^1 f^{(p)}(t) I_{m-p}(x, t) dt,$$

где

$$I_{m,p}(x,t) = \int_{0}^{t} K_{m}(x,u) du$$

$$I_{m,p}(x,t) = \int_{0}^{t} I_{m,p-1}(x,u) du.$$

Далее

$$|S_m(x)| \leq M_p \int_{\mathbb{R}^n} |I_{m,n}(x,t)| dt,$$

используя неравенство (1), получаем

$$\int_{0}^{1} |I_{n,p}(x,t)| dt \leq C_3 \frac{\ln \tilde{R}_0}{\tilde{R}_0^{p-2}}.$$

где R_0 определяєтся так, как и R_0 . Следовательно

$$|S_m(x)| < C_3 M_p \frac{\ln R_n}{R_n^{n-1}}.$$

где $\bar{R}_0 = O(m)$. Значит $S_m(x) \to 0$, когда $m \to \infty$. Такую же оценку можно получить и для $S_n(x)$, а именно

$$|S_n(x)| < C: \frac{\ln R_n}{R_n^{n-\frac{1}{2}}}$$

Окончательно получим

$$|R_n(f, x)| < C_x \frac{\ln R_n}{R_n^{n-\frac{1}{2}}} M_p.$$

Теорема доказана.

Следствие 5. Если $f^{(p)}(x)$ есть функция с ограниченным изменением, и V_p ее полное изменение на $\{0,1\}$, то

$$|R_n(f,x)| < C_s \frac{\ln R_n}{R_0^{n-\frac{1}{2}}} V_p. \tag{8}$$

В самом деле, благодаря (6) и поступня аналогично как и выше, получим доказательство теоремы.

В заключение приношу благодарность Г. В Бадалицу за постановку задачи и советы при выполнении.

Ереванский государственный университет

R I PRUERIBIE

Լեժանդրի ընդ<mark>ճանրացած չարքերի գործակիցների գնա</mark>ճատականը ե բացարծակ զուգամիտությունը։ Մնացորդի գնաճատականը

Uplumman pand gransminger of &

$$\sum_{n=1}^{\infty} a_n P_n(x) = P_n(x) = \frac{1}{2\pi i} \frac{2\pi i}{2\pi i} \int_{-\infty}^{\infty} \frac{1}{1} \frac{2\pi i}{2\pi i} \frac{x^2 dx}{2\pi i} \frac{x^2 dx}{2\pi i}$$

ատիանը։ այդ չարյթի ըստրարձակ ղուդամիտությունը և ստացվում է մետցորդի դետհա-

 μ_{AnpkA} 1. Գիցուր f(x)-ը [0,1]-ում սահմանափակ փոփոխութրան ֆունկցիա և, 1-ն f(x)-ի լրիվ փոփոխությունն և [0,1]-ում և դիցուր a_{n} -ը f(x) ֆունկցիայի ծուրյեի գործակիցն և։ Այդ դեպբում

$$|a_n| < \frac{CV}{R_n}$$

որտեղ՝ Ro-ն

$$\ln \frac{1}{x} = 2 \sum_{i=0}^{n} \frac{\gamma_i^i}{R_0^2 + \gamma_i^2}$$

հավասարժան միակ արժատն ե։

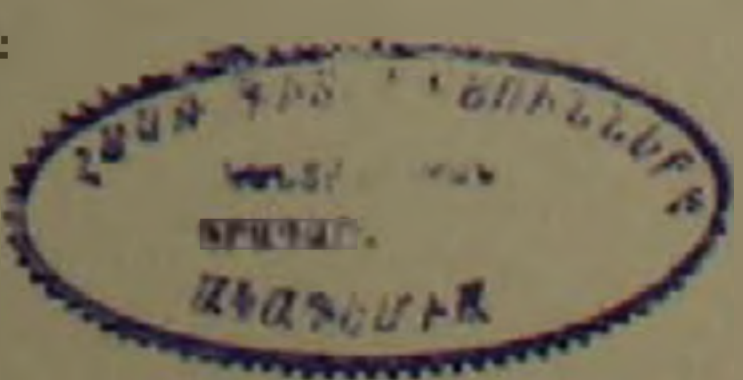
Թևորևմ Ձ. Դիցուք ƒ (x) ֆունկցիան սանմանափակ փոփոխությունն թյան ֆունկցիա և [0,1]-ում, *Մ*լ-ը ƒ (x) ֆունկցիայի լրիվ փոփոխությունն և [0,1]-ում։ Այդ դևպրում

$$|a_n| < \frac{C_1 V_1}{R_0^2}$$

թյան ֆունկցիա ե [(),1]-ում, ապա՝

$$f(x) = \sum_{n=0}^{\infty} a_n \, p_n(x)$$

շարթը բացարձակ զուգամիտ է (0,1) ում։



P և որ և և 4. Դիցուբ f(x) ֆունկցիան ունի ներառյալ մինչև p կարգի ածանցյալ (p>1) և դիցուբ

 $|f^{(p)}(x)| = M_p$

Այդ դեպբում՝

$$|R_n(f, x)| < C_1 \frac{\ln R_0}{R_0^{p-\frac{1}{2}}} M_p$$

Hanny four the Sambe (1), (2), (3), (4) h (5) Shanhar phoppe

1- 1- 15 15 15 1- 15 1-

ЛИТЕРАТУРА— ЧРИЧИНАН В АПРЪ

¹ А. К. Таслакян, «Молодой научный работник ЕГУ», № 14, 1971. - Г. В. Бадал. Известия АН Арм. ССР», т. 13, № 3 (1960). ³ И. П. Натансон, Конструктивная теорфункций, М.—Л., 1949.

LV 1972

2

УДК 519.1

MATEMATHKA

К. М. Мосесян

Базируемые и сильно базируемые графы

(Представлено академиком АН Армянской ССР С. Н. Мергелянсм 23 III 1972)

В пастоящей статье мы придерживаемся терминологии, принятой в (1). Под словом "граф" всюду будем понимать конечный связный граф без петель (параллельные ребра допускаются).

Неорпентированный граф, который можно ориентировать так, чтобы он стал базисным графом некоторого орграфа (граф частичного упорядочения) назовем базируемым (сильно базируемым), а соответствующую ориентацию — базирующей (сильно базирующей).

В монографии (*), поставлены следующие задачи: описать классы базируемых (гл. 8, п. 4, проблема 1*) и сильно базируемых (гл. 9, п. 1) графов.

В настоящей статье получена связь между понятиями базируемости и сильной базируемости. В частности, доказано, что для обыкновенных графов без треугольников эти понятия равносильны. Кроме того, получена нижняя оценка, в некотором смысле точная, для количества сильно базирующих ориентаций.

Приведем некоторые определения.

Орграф $\vec{L} = (X, \vec{U})$ называется бисвязным, если для любых вершин a и b $(a, b \in X, a \neq b)$ существует путь, идущий из a в b.

Подграф $\vec{L'}=(X',\ U')$ орграфа $\vec{L}=(X,\ U)$ называется биком-понентой, если он бисвязен и максимален относительно этого свойства.

Подграф H = (Y, V) графа L = (X, U) называется насыщенным. если он базируем, и при всякой базирующей ориентации превращается в бисвязный орграф.

Стягиванием подграфа H = (Y, V) называется процесс, при котором все дуги из H = (Y, V) опускаются, а вершины отождествляются.

Вершина $a \in X$ орграфа L = (X, U) инцидентная не более, чем двум дугам, называется антиузлом.

Бисвязный граф, который уграчивает по свойство после удаления любого ребра, валывается минимально связным,

Через B обозначим класс базирурмых, а через S – класс сильно

базпруемых графов.

Через $\Phi_n(L)(\Phi_n(L))$ обозначим класс таких сильно базирующих ориентации графа L=(X,C), при которых все дуги. инцидентные вершине a, исходят из нее (заходят в нее), а через Λ_p класс графов не имеющих циклов длины меньшей, чем p.

Нзвестны следующие результаты (см. соэтв. *--).

- (1). Минимальный связный граф имеет, по крайней мере, два аптиузла
- (2). Если гряф L' = (X', U'), полученный из $I = (X, U) \in V_1$ удалением какой-инбудь вершины и степени p(a) = 2, является сильно базируемым, то сильно базируемым будет и граф L = (X, U'),

(3). L = (X, U) $S \longrightarrow Va$ $V(\Phi_a(L) \otimes D)$.

Можно показать, что имеют место следующие утверждения.

Пемма 1. Пусть L=(X,U') одна из бикомпонент базируемоориентированного графа L=(X,U). Тогда длина всякой цепи
межеду вершинами a,b X', состоящей из ребер U U', не менее 4.
Пемма 2. Стягивая бисья ний подграф H=(Y,V') ба шруемо ориентированного графа L=(X,V'), получим ба ируем ориентированный граф

Из (1) следует

Пемма 3. Если все вершины графа $L = (N, U) \in \mathcal{B}$ имеют степень $\varphi(x) = 3$, то L не имеет бисвязной базирующей ориентации.

В (*) доказано, что в классе для графов с числом ребер не более 20, свойства базируемости и сильной базируемости эквивалентны. Следующая террема показывает, что в эта эквивалентность имает место независимо от числа ребер.

Teopema 1 $S = B_1 V_1$.

Доказательство. Яспо, что STBD V...

$$B \cap V_1 \subseteq S \tag{4}$$

докажем индукцией по числу ребер. Для однореберных графов (1) тривнально. Допустим, что опо верпо для всех графов с числом ребер не более m-1, и пусть граф $L \in B\Pi$ содержит m ребер (m-2).

a) $\exists a \in X_{\theta}(a) \leq 2$.

Удаляя вершину a из графа $L=(X,\,U)$, получим граф $L=(X,\,u,\,U)$ — Так как m(L')=m-1, то L=S и, в силу (2), $L=(X,\,U)$ — S.

6) $\forall x \in X_{\theta}(x) = 3$.

Придадим графу $L=(X,\,U)$ какую-вибуль базпрующую орнентацию. Егли при этой ориентации нет орциклов, то она сильно бази-

рующая. Если же есть ориналы, то, стянув в точку $u \notin X$ одну ил биокомпонент H = (Y, V), получим (по лемяе 2) базируемо ориентированный граф L'' = (X'', U'') с m(L'') < m-1.

По лемме 3 граф L— не пустой, а по лемме 1, L— Следовательно, по индуктивному предположению, L— S— и H— S. В силу (3) $\Phi_a^+(X^*)$ — Пусть $\varphi(L)$ — U— (L), а V(H) какая-инбудь сильно базирующая ориентация графа H = (Y, V). Легко заметить, что ориентация $\chi(L) = \varphi(L^*)$ — V(H) булет сильно базирующей для графа L = (X, U). Значит, L = (X, U) \in S. Теорема доказана.

Следствие. Граф содержит насыщенный подграф тогда и только тогда, когда он содержит треугольныхи или пару вершии, создиненную двуми ребрами.

Следующая теорема устанавливает связь между понятнями базируемости и сильной базируемости для графов из класса

Теорема 2. Для бамруем сти графа l = (X, U) необходимо и достаточно, чтобы после стягиваная всех максимальных насыщенных подграфов получался сильно бамруемый граф,

В работе (5) был доказан следующий результат.

(5): если для гряфа $L = (X, L) \in S$ существует сильно базпруюная ориентация, в которой длинг наибольнего пути равна ρ , то существует не менее, чем $\rho = 1$ различных сильно базпрующих ориентаций.

Оказывается, что эта оценка точная только для двух графов, а для всех остальных можно ее удвонть. Именно, имеет место.

Теорема 3. Если граф I = (X, U) S, не являющийся цепью олины ≤ 2 , при какой-нибудь сильно базирующей ориентации и изет путь олини p, то существует не и нез 2(p-1) различных сильно базирующих ориентаций.

Доказательство. Рассметрим сильно базирующие орнентации.

$$\varphi_0(X_p^+, X_0^-); \quad \varphi_k(X_{p-k}^+, X_{p-k}^-) \quad k = 1, 2, \dots, p,$$
 (6)

построенные в (5). Так как все оряентации системы (6) попарно различны, то позарно различны также их прэтивоположные ориентации

$$\varphi_n(X_p^*, X_n); \quad \varphi_k(X_{p-s}^*, X_p) \qquad k = 1, 2, \dots, p.$$
 (7)

Можно показать, что для графов с хроматическим числом 7—3 мобые две ориентации, наятые слогнетствлино из (6) и (7), различаются. Следозательно, для них теорема 3 верна. Легко заметить, что она верна также для деревьев.

Рассмотрим бихроматический граф, не являющийся деревам. Раскрасим его цагтами 2, 3 и обраначим эту раскраску через \mathbb{F}_1 (2, 3). Очевидно, при \mathbb{F}_1 (2, 3) каждым цистом будут окраниены по меньшей мере две вершины Раскрасив одну из вершин цвета 2 цветом 4, получим раскраску Ψ_* (2, 3, 4), а раскрасив одну из вершин ивета 3 цветом 1, раскраску Ψ_* (1, 2, 3).

Сильно базирующие ориентации φ_1 , и получаются соответственно из раскрасок Ψ_1 (2, 3). Ψ_2 (2, 3, 4) и Ψ_3 (1, 2, 3) путем ориентации ребер от вершии меньшего номера к вершинам большего номера. Легко заметить, что ориентации φ_1 , φ_1 , φ_2 , все различны. Георема доказана.

Замечание. Известно (), что утверждение (5) верно и для бесконечных графов. Как сидно из доказательства, теорема 3 также справедлива для бесконечных графов.

Следствие Для сильно базируемого графа l = (N, U), не являющегося ребром, существует не менее 2/U различных сильно базирующих ориентаций.

Это вытеквет из теорамы Виталера (1) и из теоремы 3.

Вычисантельный центр Академии наук Арминской ССР и Ереванского государствениего университета.

4 IF TRAUBUSIES

Բազիսացվող և ուժեղ բազիսացվող գբաֆնեւ

եթե այն կարելի է կողմնորոշման - միջոցով դարձնե որևէ գրաֆի (մասնակի կարդավորման - դատի - թագիտայրն դրաֆո

նրեի (-) մենադրություն դրված են հանյալ խնդիրները, նկարադրել բաղիսացվող (գլ. 8, § 1. իւնգիր 1 - և ուժեղ բաղիսացվող (գլ. 9, § 1.) զրաֆ ների զասը։

արվուրը, ծար րախարայան առաջի մրա աստակարև։

«աստարևանը և համանաև արարկան չմկարբին արարի և համասակար չարաց չարար արարկան համան արարան արարարի արարայան իրանական արարայան արարայան համարական արարայան իրանական արարայան և արարայան իրանական արարայան և արարայան

ЛИТЕРАТУРА — ЧРИЧИМИНЕРАПЕЪ

А. А. Запав Теория конечных графов. 1, изд «Паука», Повосибирск, 1969. О. до Теория графов, изд «Наука», М., 1968 * А. Берш, Теория графов и се применение, И.Л. М., 1962 * К. М. Моссеви, ДАН Арм ССР, т. LIV, № 2 (1972) — К.М. Моссеви, ДАН Арм ССР, т. LIV, № 2 (1972) — К.М. Моссеви, ТАН Арм ССР г. LIV, № 2 (1972) — К.М. Моссеви, ДАН Арм ССР г. LIV, № 1 (1972).

I.V 1972 2

УДК 539-3

ТЕОРИЯ УПРУГОСТИ

С. А Мелкумян

Контактная задача для полуплоскости с вертикальным конечным разрезом

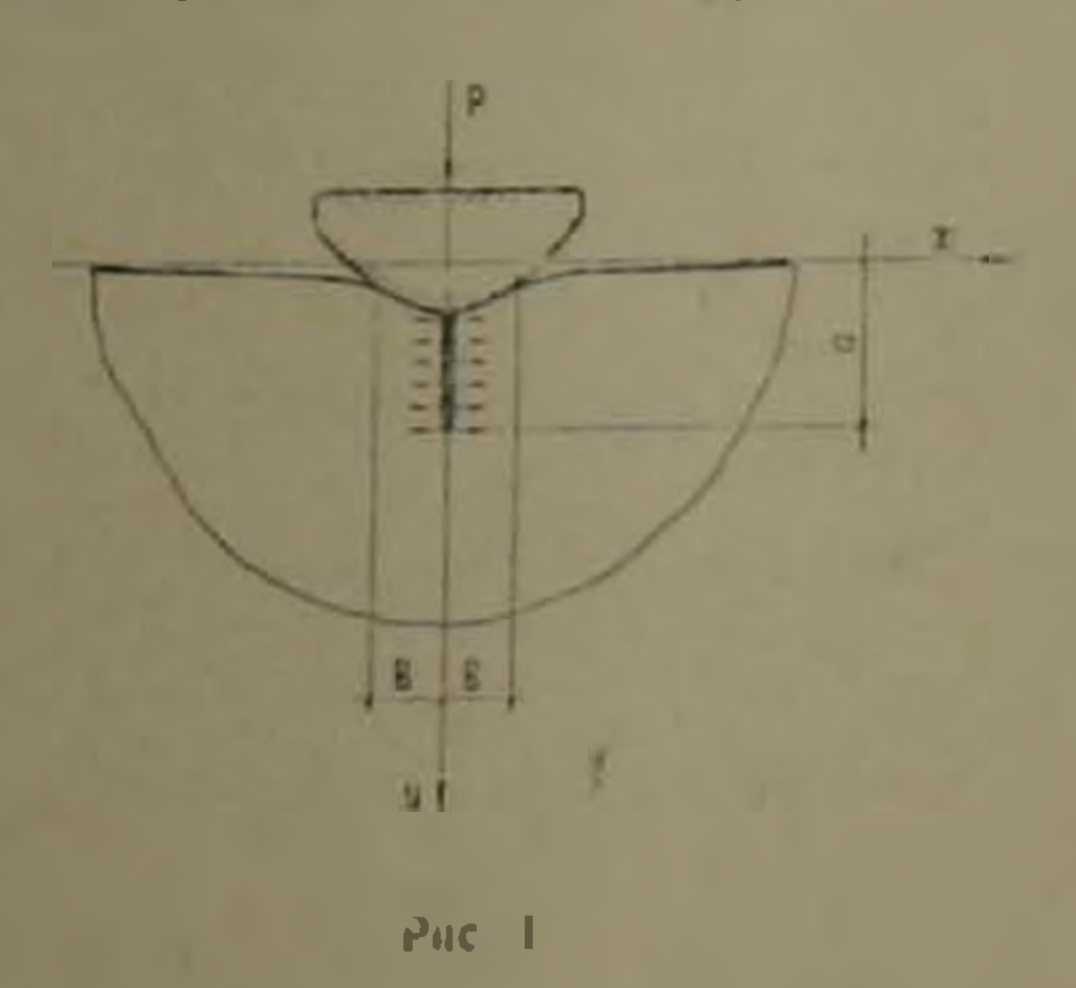
(Представлено чл -корр. АН Армянской ССР О. И. Сплонджином 2/111 1972).

Рассматривается плоская контактная задача для упругой, изотропной полуплоскости, с разрезом конечной длины а вдоль оси у, начиная от горизонтальной границы.

На участке 2*b* граннцы полуплоскости приложен жесткий штама в основанием произвольной формы, симметрично расположенный относительно оси разреза. Предполагается, что трение между штампом и полуплоскостью отсутствует. Для простоты принимается также, что граница полуплоскости вне штампа свободна от внешних усилий, а и разрезе действует только нормальное давление (рис. 1) Насколько известно, эта задача рассматривается впервые. Задача решеча методом Фурье

Решение задачи сводится к системе из двух "парных" интегральных уравнений. Эта система в свою очередь сводится к интегральному уравнению Фредгольма второго рота. Показано, что решение последнего уравнения может быть найдено методом последовательных приближений.

В частных случаях, когда а О или а ос, соответственно получается контактная задача плоской теории упругости для полуплоскости без разреза и квадранта (1).



В силу симметрии граничных условий достаточно рассматривать только область кнадранта (0< ж — 0 — при этом граничные условий задачи будут иметь вяд:

$$=_{xy}(x, 0) = 0 \quad (0 < x < \infty); \quad =_{xy}(0, y) = 0 \quad (0 < y = \infty)$$

$$v(x, 0) = f(x) \quad (0 < x < b); \quad z_y(x, 0) = 0 \quad (b < x < 0)$$

$$z_x(0, y) = f(y) \quad (0 < y < a); \quad u(0, y) = 0 \quad (a < y < \infty)$$
(1)

Бягармоническую функцию папряження для решения рассматриваемой задачи берем в виде:

$$\Phi(x, y) = \int |A(z) - 2xB(z)|e^{-xx}\cos(zy)dz + \int |C(3) - 3yD(3)|e^{-xx}\sin(3x)d3 \quad (0 < x < +; 0 < y < \infty)$$
 (2)

Напряжения и перемещения определяются при помощи известных формул (2):

ных формул (2):

$$z_{\chi}(x, y) = -\int_{0}^{2\pi} z^{2} |A(z) + 2xB(\pi)| e^{-\pi r} \cos(2y) dx + \int_{0}^{2\pi} |C(\pi)| - 2D(\pi) + 3yD(\pi)| e^{-\pi r} \cos(2y) d\pi + \int_{0}^{2\pi} |C(\pi)| - 2D(\pi) + 3yD(\pi)| e^{-\pi r} \cos(2y) d\pi - \int_{0}^{2\pi} |C(\pi)| + 3yD(\pi)| e^{-\pi r} \sin(\pi x) d\pi,$$

$$z_{\chi y}(x, y) = -\int_{0}^{2\pi} z^{2} |A(\pi)| - B(\pi)| + \pi xB(\pi)| e^{-\pi r} \sin(\pi x) d\pi + \int_{0}^{2\pi} |C(\pi)| - D(\pi)| + 3yD(\pi)| e^{-\pi r} \cos(\pi x) d\pi,$$

$$u(x, y) = \frac{1}{E} \left\{ \int_{0}^{2\pi} 2|A(\pi)| + |B(\pi)| + |a| + |a|$$

Закренляя бесконечно удаленную точку, имеем

$$a_0 = b_0 = c_0 = 0.$$
 (4)

Удовлетворяя граничным условиям (1), получаем

$$C(\mathfrak{Z}) = D(\mathfrak{Z}), \tag{5}$$

$$B(z) = A(z) - \frac{4}{\pi} \frac{1}{z} \int_{0}^{z} \frac{dD(z)}{(z^{2} - \sqrt{z^{2}})^{2}} dz, \qquad (6)$$

$$\int \beta D(\beta) \sin(\beta x) d\beta = \frac{E}{2} f(x), \quad (0 < x < b)$$
 (7)

$$\int_{0}^{2\pi} D(\beta) \sin(\beta x) d\beta = \int_{0}^{2\pi} |A(\tau) - 2B(\tau)| + 2xB(\tau) |e^{-\tau \tau} d\tau| \quad (b < x < \infty)$$

$$\int_{0}^{\pi} z^{2} A(z) \cos(2y) dz = -f(y), \quad (0 < y < a)$$
 (8)

$$\int_{0}^{z} A(z) \cos(zy) dz = \int_{0}^{z} Fyc^{-1} D(\beta)d\beta, \quad (a < y < \infty)$$

Подоби<mark>не "парине" ур</mark>авиения рассматривались в работах (3-5) и в других.

Используя результагы работы (*), из (7) для функции $D(\mathfrak{z})$ по-лучаем

$$D(3) = \frac{2}{\pi} \frac{1}{5} \int_{0}^{1} \Psi(t) J_{0}(3t) dt - \frac{2}{\pi} \frac{1}{5} \int_{0}^{1} F(t) J_{0}(3t) dt, \tag{9}$$

rae

$$\Psi(t) = \frac{d}{dt} \frac{E}{2} \sqrt{\frac{f(x)xdx}{1 + t^2 - x^2}}$$
 (10)

$$F(t) = t \int_{0}^{\infty} z^{2} A(z) K_{0}(zt) dz - 2t \int_{0}^{\infty} z^{2} B(z) K_{0}(zt) dz - t^{2} \int_{0}^{\infty} z^{1} B(z) K_{1}(zt) dz,$$
(11)

 $K_i(2t) = функции Макдональда;$

J₀(31) — функция Бесселя первого года с деяствительным аргументом

Вырязим функцию A(z) через функцию D(3). Для этого умножим перьое уравнение из (8) на $(r^2-y^2) + dy$, проинтегрируем но у от нуля до r.

Умножая второе уравнение на угу- r^*) - dy и интегрируя по- лученное равечство по у от r до беск шечности, потом дифференци- руя по r, имеем:

$$\frac{1}{2} \int_{0}^{\pi} 2r I(z) 2r J_0(2r) dz = r z_1(r), \quad (0 < r < a)$$
 (12)

$$\frac{\pi}{2} \int_{0}^{\infty} aA(z) \, ar \, J_{n}(ar) da = r \pi_{2}(r) \quad (a \leq r < \infty).$$

Используя формулу обращения для преобразования Хапкеля, из (12) получаем:

$$A(z) = \frac{1}{\pi} \int_{-2}^{\pi} \int_{0}^{\pi} r \varphi_{1}(r) J_{0}(zr) dr - \frac{2}{\pi} \int_{-2}^{\pi} \int_{0}^{\pi} r \varphi_{n}(r) J_{0}(zr) dr, \qquad (13)$$

где

$$\tau_1(r) = -\int_0^r \frac{f(y)dy}{r^2 - y^2}$$
 (14)

$$\varphi_2(r) = \int_0^r \beta^2 D(\beta) [\beta r K_1(\beta r) - K_0(\beta r)] d\beta. \tag{15}$$

Подставляя значення функции ф.(г) из (15) в (13) и учитывая (9), получаем

$$A(z) = \frac{2}{\pi} \int_{0}^{\sigma} r_{\tau_{1}}(r) J_{0}(\tau r) dr - \frac{4}{\pi^{2}} \int_{0}^{b} \Psi(t) dt \int_{a}^{\pi} \frac{r(r^{2} - t^{2})^{2}}{(r^{2} - t^{2})^{2}} J_{0}(zr) dr + \frac{4}{\pi^{2}} \int_{0}^{\pi} \frac{1}{(r^{2} - t^{2})^{2}} J_{0}(zr) dr$$

$$= \frac{4}{\pi^{2}} \int_{0}^{\pi} F(t) dt \int_{0}^{\pi} \frac{r(r^{2} - t^{2})}{(r^{2} - t^{2})^{2}} J_{0}(zr) dr$$

$$= \frac{4}{\pi^{2}} \int_{0}^{\pi} F(t) dt \int_{0}^{\pi} \frac{r(r^{2} - t^{2})}{(r^{2} - t^{2})^{2}} J_{0}(zr) dr$$

$$= \frac{4}{\pi^{2}} \int_{0}^{\pi} F(t) dt \int_{0}^{\pi} \frac{r(r^{2} - t^{2})}{(r^{2} - t^{2})^{2}} J_{0}(zr) dr$$

$$= \frac{4}{\pi^{2}} \int_{0}^{\pi} F(t) dt \int_{0}^{\pi} \frac{r(r^{2} - t^{2})}{(r^{2} - t^{2})^{2}} J_{0}(zr) dr$$

$$= \frac{4}{\pi^{2}} \int_{0}^{\pi} F(t) dt \int_{0}^{\pi} \frac{r(r^{2} - t^{2})}{(r^{2} - t^{2})^{2}} J_{0}(zr) dr$$

$$= \frac{4}{\pi^{2}} \int_{0}^{\pi} F(t) dt \int_{0}^{\pi} \frac{r(r^{2} - t^{2})}{(r^{2} - t^{2})^{2}} J_{0}(zr) dr$$

$$= \frac{4}{\pi^{2}} \int_{0}^{\pi} F(t) dt \int_{0}^{\pi} \frac{r(r^{2} - t^{2})}{(r^{2} - t^{2})^{2}} J_{0}(zr) dr$$

$$= \frac{4}{\pi^{2}} \int_{0}^{\pi} F(t) dt \int_{0}^{\pi} \frac{r(r^{2} - t^{2})}{(r^{2} - t^{2})^{2}} J_{0}(zr) dr$$

$$= \frac{4}{\pi^{2}} \int_{0}^{\pi} F(t) dt \int_{0}^{\pi} \frac{r(r^{2} - t^{2})}{(r^{2} - t^{2})^{2}} J_{0}(zr) dr$$

$$= \frac{4}{\pi^{2}} \int_{0}^{\pi} F(t) dt \int_{0}^{\pi} \frac{r(r^{2} - t^{2})}{(r^{2} - t^{2})^{2}} J_{0}(zr) dr$$

$$= \frac{4}{\pi^{2}} \int_{0}^{\pi} F(t) dt \int_{0}^{\pi} \frac{r(r^{2} - t^{2})}{(r^{2} - t^{2})^{2}} J_{0}(zr) dr$$

При получении (13), (15) и (16) были учтены значения следующих интегралов (°)

$$\int_{0}^{1} \frac{\cos(\pi y) dy}{r^{2} - y^{2}} = \frac{\pi}{2} J_{0}(\pi r); \qquad \int_{r}^{\pi} \frac{y \cos(\pi y) dy}{y^{2} - r^{2}} = -\frac{\pi}{2} r J_{1}(\pi r),$$

$$\int_{0}^{1} \frac{y^{2} e^{-x} dy}{r^{2} - y^{2}} = r \left[r K_{0}(\pi r) + \frac{1}{3} K_{1}(\pi r) \right]; \qquad (17)$$

$$\int_{\mathbb{R}} \Im J_0(\Im r) K_0(\Im r) d\Im = \frac{1}{r^2 + \ell^2}; \qquad \int_{\mathbb{R}} \Im J_0(\Im r) K_1(\Im r) d\Im = \frac{2r}{(r^2 + \ell^2)^2}.$$

Подставляя значения A(z) и D(3) соответственно из (16) и (19) в (6), получаем

$$B(z) = \frac{2}{\pi} \int_{0}^{a} r_{f_1}(r) J_0(zr) dr +$$

$$+\frac{4}{\pi^{2}}\frac{1}{2}\int_{0}^{h}\Psi(t)\left[\int_{0}^{\infty}\frac{r(r^{2}-t^{2})}{(r^{2}+t^{2})^{2}}J_{0}(zr)dr+ztK_{1}(zt)-2K_{0}(zt)\right]dz+\frac{4}{\pi^{2}}\frac{1}{2}\int_{0}^{\pi}F(t)\left[\int_{0}^{\infty}\frac{r(r^{2}-t^{2})^{2}}{(r^{2}+t^{2})^{2}}J_{0}(zr)dr+ztK_{1}(zt)-2K_{0}(zt)\right]dz.$$
(18)

Исключая теперь A(z) и B(z) из соотношений (11), (16) и (18), для определения функции F(t) получаем интегральное уравнение Фредгольма второго рода

$$F(z) = 2(z) + \int_{\Lambda}^{\infty} F(t)K(z, t) dt. \tag{19}$$

где

$$\Omega(z) = \frac{2}{\pi} z \int_{0}^{a} r z_{1}(r) \frac{z^{2} - r^{2}}{(z^{2} + r^{2})^{2}} dr + \frac{4}{\pi^{2}} z \int_{0}^{b} \Psi(t) \left\{ \frac{\ln t/z}{t^{2} - z^{2}} - \frac{1}{(z^{2} + t^{2})^{2}} \left[\frac{3z^{2} + t^{2}}{2} \ln \frac{a^{2} + z^{2}}{z^{2}} - \frac{a^{2}}{2} \frac{2z^{2} + t^{2} + a^{2}}{a^{2} + z^{2}} \right] \right\}, \tag{20}$$

$$K(z, t) = \frac{4z}{\pi} \left\{ \frac{\ln t/z}{t^{2} - z^{2}} - \frac{1}{(z^{2} + t^{2})^{2}} \left[\frac{3z^{2} + t^{2}}{2} \ln \frac{a^{2} + z^{2}}{z^{2}} - \frac{a^{2}}{z^{2}} - \frac{2z^{2} + t^{2} + a^{2}}{2} \right] \right\}. \tag{21}$$

При получения формул (19), (20), (21) была использованы (17) и значения интегралов (*)

$$\int_{0}^{z} z K_{0}(zt) K_{0}(zz) dz = \frac{\ln t/z}{t^{2} - z^{2}},$$

$$\int_{0}^{z^{2}} x^{2} K_{1}(zt) K_{0}(zz) dz = \frac{z^{2} - t^{2} + 2t^{2} \ln t/z}{t(t^{2} - z^{2})^{2}},$$

$$\int_{0}^{z^{2}} \frac{z^{4} K_{1}(zt) K_{0}(zz) dz}{t^{2} + z^{2}} = \frac{2}{z^{4} - t^{4}} \frac{4^{r_{2} - 2} \ln z/t}{zt(z^{2} - t^{2})^{2}},$$

$$\int_{0}^{z} \frac{\beta(z^{2} - z^{2})}{(z^{2} + z^{2})^{2}} J_{0}(\beta t) d\beta = K_{0}(zt) - zt K_{1}(zt);$$

$$\int_{0}^{z} \frac{r(z^{2} - t^{2})(t^{2} - t^{2})}{(z^{2} + t^{2})^{2}} dr = \frac{3z^{2} + t^{2}}{2} \ln \frac{a^{2} + z^{2}}{z^{2}} - \frac{a^{2}}{2} \frac{2z^{2} + t^{2} + a^{2}}{a^{2} + z^{2}},$$
(22)

Покажем, что интегральное ураннение (19) можно решить методом последовательных приближений.

Нетрудно видеть, что

$$|K(z, t)| < \frac{4}{\pi^2} z \frac{\ln t/z}{t^2 - z^2}$$

$$\int_{0}^{z} |K(z, t)| dt < \int_{0}^{z} |K(z, t)| dt < \frac{4}{\pi} = \int_{0}^{z} \frac{\ln t / z}{t^{2} - z^{2}} dt = \frac{4}{\pi^{2}} \int_{0}^{z} \frac{\ln t / z}{t(t / z - z / t)} dt.$$

Перейдем к повым переменным следующим образом: переменную интегрирования в именим через в е , а переменную (параметр) в заменим через в е После таких преобразований пераненство (24) примет вид:

$$\int_{0}^{1} K(z,t) |dt < \int_{0}^{1} |K(z,t)| dt = \int_{0}^{1} |K(z,z)| dz < \frac{2}{z^{2}} \int_{0}^{z} \frac{(z,-z) d(z,-z)}{\sinh(z,-z)}.$$

Пользуясь значением интеграла (*)

$$\int \frac{\pm d\xi}{\sinh \xi} = \frac{\pi^2}{2} \tag{25}$$

получаем

$$\int_{b} |K(z,t)| dt < 1.$$

Очевидно, что функция 2(2) ограничена сверху и съремится к иулю когда z→∞.

Решая интегральное уравнение (19) методом последовательных приближений, получаем выражение функции F(t). Далее, по формулам (18), (16), (9), (5) последовательно можно определить все искомые функции.

Напряжения и перемещения по известным формулям (3) будут определены в любой точке полуплоскости.

В заключение считаю своим приятшым долгом выразить глубокую признательность моему научному руководителю В. С. Тонояну за постановку задвчи и пенные указания в ходе ее решения.

Ереванский политехопичений пиститут имени К. Маркса

Ուղղաձիզ, վեռչավու երկառության նեղքով կիսանաբրության կոստակտային խնդիշը

արուղջըն,
արտանիվում է Հորիզորական եզրից ակսած ուղղածից վերչավոր երկարու

արտանիվում է Հորիզոնական եզրից ակսած ուղղածից վերչավոր երկարու

ինդիրը նիրանարիության եզրին երբում և ձերը դրույնից դուրս ազատ է

արտարիվում է Հորիզոնական եզրից ակսած ուղղածից վերչավոր երկարու

ինդիրը նիրանարիության եզրին եզրին ազատանական հարաակարում է,

հարզության ազատ է

հարձության արտանարի ազատ է

հարձության ազատ է

հարձության արտանարի արտանարի ազատ է

հարձության արտանարի արտ

Խնդիրը ընրվում է աղույդ» ինտնդրալ հավասարումներից ըսպկացած սիստեմի, որի լուծումը հանգում է Ֆրնդհոլմի երկրորդ սեռի ինտեդրալ հավաս<mark>արման լուծմ</mark>անը։

8ույց է տրված, որ վերջին մավասարումը կարելի է լուծել մաջորդական մոտավորությունների եղանակով։

JIH TIPATYPA — TPULLULUPPBUKE

¹ Б. А. Абрамян. Или АН СССР, МТТ. № 1 (1969) ² С И Типошенко, 1сория упругости ОППИ. М. 1937. ³ А А Баблами, ПММ, т 28, вып 6 (1961) ⁴ I. N. Sneddon, Proc. Glasgon Math. Ass. vol. 4. 106—110, (1960) ³ В С Тономи, Изпестия АН Арм ССР°, Мехашика, т. XXI, № 3 (1968) ⁴ И С Градитеци. И М. Рыжик, Таблицы интегралов, суми рядов и произведений. Физматтиз М. 1952.

LV 1972 2

37,7K 538 3

ТЕОРЕТИЧЕСКАЯ ФИЗИКА

Р. А. Багиян

Переходное излучение на периодически шероховатой границе

(Представлено чл.-корр. АН Армянской ССР М. Л. Тер-Микаеляном 22/111 1972).

В работе (1) было отмечено, что поляризация переходного излучения очень сильно записит от качества полировки поверхности металла. Так как анализ переходного излучения при отклонении поверхности от идеально зеркальной сложен как с теоретической, так и с экспериментальной точки зрения, казалось рациональным дать простое теоретическое рассмотрение этой проблемы, основанной на теории возмущений

Ниже предлагается приближенный метод расчета излучения на шероховатых поверхностях в предположении, что перовности периодические.

Пусть заряженная частица с постоянной скоростью падает на перовную поверхность z=f(x,y), которая является границей между двумя средами с электромагнитными постоянными ε_i и . Не нарушая общности, мы предполагаем, что скорость частицы лежит в плоскости (x,z) в составляет с осью z некоторый угол

Воспользуемся результатами работы (*), где были выведены формулы переходного излучения на границе раздела произвольной формы в предположении, что изменение диэлектрических свойств среды от слоя с диэлектрической пропицаемостью s_1 к слою s_2 мало. Для поля излучения на расстоянии R_0 от излучаемого объекта имеем

$$\vec{D}_{z}(R_{0}) = \frac{(z_{z} - z_{z})e^{(k^{*}R_{0})}}{4\pi i R_{0}} \left| \vec{k'} \right| \vec{k'} \cdot \int \frac{\vec{E}_{w}(x, y) e^{-ik_{x}x - ik_{y}y}}{\left(\frac{w - k_{x}v_{x}}{v_{z}} - k_{z}^{*}\right)} \times e^{i\left(\frac{w - k_{x}v_{x}}{v_{z}} - k_{z}^{*}\right) \kappa(x, y)} dx dy \right|$$

$$\times e^{i\left(\frac{w - k_{x}v_{x}}{v_{z}} - k_{z}^{*}\right) \kappa(x, y)} dx dy \left| \right|$$
(1)

гле

$$\vec{E}_{-}(x, y) = \frac{ie}{2\pi^{2} v_{z}} \int dk_{x} dk_{y} \frac{\left(\frac{v_{z} \vec{v}}{c^{2}} - \frac{\vec{k}}{z_{0}}\right)}{k^{2} - \frac{v_{z}^{2}}{c^{2}} z_{0}} e^{ik_{x} x + ik_{y} y};$$

$$w = k_x v_x - k_z v_z$$

$$\frac{1}{c} = \frac{\omega}{c} = \frac{1}{n} = \frac{1}{n} = \text{BOIHOHOR BERTOP BEITY SCHROLO KRIMTA}$$

Пусть z = f(x, y) функция, периодическая по отношению к обенм переменным x и y, с периодами, равимми соотнетственно ℓ_z и ℓ_z

Пресбразуем (1) к пилу

$$D_{-}(R_0) = \frac{(s_0 - s_1)e^{ik\cdot R_0}}{4\pi iR_0} \left[\overline{k'} \right] k' + \frac{\overline{E}_{-}(x,y)e^{-ik\cdot x - ik\cdot y}}{\left(\frac{\sigma_0 - k + it\cdot y}{\sigma_0} - k \right)}$$

$$= I_{ms} e^{-mpx - inty} dx dy$$

$$= I_{ms} e^{-mpx - inty} dx dy$$

где через L_{ms} обозначены коэффициенты разложения в пюйнов ряд Фурье функции

$$\exp\left\{i\left(\frac{w-k_Xv_X}{v_x}-k_z\right)f(x,y)\right\} = \sum_{m,n} -L_{my}\exp\{i(mpx-sty)\},$$
 uphuem $\rho = \frac{2\pi}{l_X}$, $I = \frac{2\pi}{l_Y}$.

Для эпергии излучения в питервале частот и и питервале телесного угла и иолучаем:

$$dI_{\omega,\vec{n}} = \frac{e^{2}c |z_{2} - z_{1}|^{2}}{4\pi^{2}z_{0}^{3/2} v_{z}^{2}} d\Omega d\omega \sum_{m,s=-\infty} \left| \frac{\vec{k'} |\vec{k'}, (\frac{\omega}{c^{2}} - \frac{\vec{k}}{z_{0}})| |L_{ms}|}{(\frac{\omega - k_{x}v_{x}}{v_{z}} - k_{z}^{2})(k^{2} - \frac{\omega^{2}}{c^{2}} z_{0})} \right|, \quad (2)$$

The $k_x = k_x - mp$, $k_y = k_y - st$.

здесь возможны две поляризации: одна электрический вектор, которой лежит в плоскости излучения (плоскость, содержащая вектор к и нормаль к границе раздела), и вторая — электрический вектор, которой перпендикулярен к плоскости излучения. Поляризации первого тяпа мы будем называть пвраллельной и приписывать инзекс в поляризацию второго типа перпендикулярной и приписывать индекс Таким образом для интенсивно тей излучения от периодически пероховатых новерхностей имеем следующие выражения

$$\frac{c^{-|z_{2}-z_{1}|^{2}\beta_{z}^{2}}}{4\pi^{2}c\epsilon_{0}^{3}\cdot\sin^{2}\Theta_{z}} = \frac{|L_{ms}|^{2}}{|(1-\beta_{x})\cdot\epsilon_{0}\cos\Theta_{x}|^{2}} \frac{|L_{ms}|^{2}}{|(1-\beta_{x})\cdot\epsilon_{0}\cos\Theta_{x}|^{2}} \frac{|L_{ms}|^{2}}{|\beta_{z}\epsilon_{0}\cos\Theta_{x}-\beta_{z}\epsilon_{0}\cos\Theta_{x}-\beta_{z}\epsilon_{0}\cos\Theta_{x}-\beta_{z}\epsilon_{0}\cos\Theta_{x}-\beta_{z}\epsilon_{0}\cos\Theta_{x}-\beta_{z}\epsilon_{0}\cos\Theta_{x}-\beta_{z}\epsilon_{0}\cos\Theta_{x}-\beta_{z}\epsilon_{0}\cos\Theta_{x}-\beta_{z}\epsilon_{0}\cos\Theta_{x}-\beta_{z}\epsilon_{0}\cos\Theta_{x}-\beta_{z}\epsilon_{0}\cos\Theta_{x}-\beta_{z}\epsilon_{0}\cos\Theta_{x}-\beta_{z}\epsilon_{0}\cos\Theta_{x}-\beta_{z}\epsilon_{0}\cos\Theta_{x}-\beta_{z}\epsilon_{0}\cos\Theta_{x}-\beta_{z}\epsilon_{0}\cos\Theta_{x}-\beta_{z}\epsilon_{0}\cos\Theta_{x}-\beta_{z}\epsilon_{0}\cos\Theta_{x}-\beta_{z}\epsilon_{0}\cos\Theta_{x}-\beta_{z}\epsilon_{0}\cos\Theta_{x}-\beta_{z}\epsilon_{0}\cos\Theta_{x}-\beta_{z}\epsilon_{0}\cos\Theta_{x}-\beta_{z}\epsilon_{0}\cos\Theta_{x}-\beta_{z}\epsilon_{0}\cos\Theta_{x}-\beta_{z}\epsilon_{0}\cos\Theta_{x}-\beta_{z}\epsilon_{0}\cos\Theta_{x}-\beta_{z}\epsilon_{0}\cos\Theta_{x}-\beta_{z}\epsilon_{0}\cos\Theta_{x}-\beta_{z}\epsilon_{0}\cos\Theta_{x}-\beta_{z}\epsilon_{0}\cos\Theta_{x}-\beta_{z}\epsilon_{0}\cos\Theta_{x}-\beta_{z}\epsilon_{0}\cos\Theta_{x}-\beta_{z}\epsilon_{0}\cos\Theta_{x}-\beta_{z}\epsilon_{0}\cos\Theta_{x}-\beta_{z}\epsilon_{0}\cos\Theta_{x}-\beta_{z}\epsilon_{0}\cos\Theta_{x}-\beta_{z}\epsilon_{0}\cos\Theta_{x}-\beta_{z}\epsilon_{0}\cos\Theta_{x}-\beta_{z}\epsilon_{0}\cos\Theta_{x}-\beta_{z}\epsilon_{0}\cos\Theta_{x}-\beta_{z}\epsilon_{0}\cos\Theta_{x}-\beta_{z}\epsilon_{0}\cos\Theta_{x}-\beta_{z}\epsilon_{0}\cos\Theta_{x}-\beta_{z}\epsilon_{0}\cos\Theta_{x}-\beta_{z}\epsilon_{0}\cos\Theta_{x}-\beta_{z}\epsilon_{0}\cos\Theta_{x}-\beta_{z}\epsilon_{0}\cos\Theta_{x}-\beta_{z}\epsilon_{0}\cos\Theta_{x}-\beta_{z}\epsilon_{0}\cos\Theta_{x}-\beta_{z}\epsilon_{0}\cos\Theta_{x}-\beta_{z}\epsilon_{0}\cos\Theta_{x}-\beta_{z}\epsilon_{0}\cos\Theta_{x}-\beta_{z}\epsilon_{0}\cos\Theta_{x}-\beta_{z}\epsilon_{0}\cos\Theta_{x}-\beta_{z}\epsilon_{0}\cos\Theta_{x}-\beta_{z}\epsilon_{0}\cos\Theta_{x}-\beta_{z}\epsilon_{0}\cos\Theta_{x}-\beta_{z}\epsilon_{0}\cos\Theta_{x}-\beta_{z}\epsilon_{0}\cos\Theta_{x}-\beta_{z}\epsilon_{0}\cos\Theta_{x}-\beta_{z}\epsilon_{0}\cos\Theta_{x}-\beta_{z}\epsilon_{0}\cos\Theta_{x}-\beta_{z}\epsilon_{0}\cos\Theta_{x}-\beta_{z}\epsilon_{0}\cos\Theta_{x}-\beta_{z}\epsilon_{0}\cos\Theta_{x}-\beta_{z}\epsilon_{0}\cos\Theta_{x}-\beta_{z}\epsilon_{0}\cos\Theta_{x}-\beta_{z}\epsilon_{0}\cos\Theta_{x}-\beta_{z}\epsilon_{0}\cos\Theta_{x}-\beta_{z}\epsilon_{0}\cos\Theta_{x}-\beta_{z}\epsilon_{0}\cos\Theta_{x}-\beta_{z}\epsilon_{0}\cos\Theta_{x}-\beta_{z}\epsilon_{0}\cos\Theta_{x}-\beta_{z}\epsilon_{0}\cos\Theta_{x}-\beta_{z}\epsilon_{0}\cos\Theta_{x}-\beta_{z}\epsilon_{0}\cos\Theta_{x}-\beta_{z}\epsilon_{0}\cos\Theta_{x}-\beta_{z}\epsilon_{0}\cos\Theta_{x}-\beta_{z}\epsilon_{0}\cos\Theta_{x}-\beta_{z}\epsilon_{0}\cos\Theta_{x}-\beta_{z}\epsilon_{0}\cos\Theta_{x}-\beta_{z}\epsilon_{0}\cos\Theta_{x}-\beta_{z}\epsilon_{0}\cos\Theta_{x}-\beta_{z}\epsilon_{0}\cos\Theta_{x}-\beta_{z}\epsilon_{0}\cos\Theta_{x}-\beta_{z}\epsilon_{0}\cos\Theta_{x}-\beta_{z}\epsilon_{0}\cos\Theta_{x}-\beta_{z}\epsilon_{0}\cos\Theta_{x}-\beta_{z}\epsilon_{0}\cos\Theta_{x}-\beta_{z}\epsilon_{0}\cos\Theta_{x}-\beta_{z}\epsilon_{0}\cos\Theta_{x}-\beta_{z}\epsilon_{0}\cos\Theta_{x}-\beta_{z}\epsilon_{0}\cos\Theta_{x}-\beta_{z}\epsilon_{0}\cos\Theta_{x}-\beta_{z}\epsilon_{0}\cos\Theta_{x}-\beta_{z}\epsilon_{0}\cos\Theta_{x}-\beta_{z}\epsilon_{0}\cos\Theta_{x}-\beta_{z}\epsilon_{0}\cos\Theta_{x}-\beta_{z}\epsilon_{0}\cos\Theta_{x}-\beta_{z}\epsilon_{0}\cos\Theta_{x}-\beta_{z}\epsilon_{0}\cos\Theta_{x}-\beta_{z}\epsilon_{0}\cos\Theta_{x}-\beta_{z}\epsilon_{0}\cos\Theta_{x}-\beta_{z}\epsilon_{0}\cos\Theta_{x}-\beta_{z}\epsilon_{0}\cos\Theta_{x}-\beta_{z}\epsilon_{0}\cos\Theta_{x}-\beta_{z}\epsilon_{0}\cos\Theta_{x}-\beta_{z}\epsilon_{0}\cos\Theta_{x}-\beta_{z}\epsilon_{0}\cos\Theta_{x}-\beta_{z}\epsilon_{0}\cos\Theta_{x}-\beta$$

$$\frac{e^{z}[\varepsilon_{z}-\varepsilon_{1}]^{z}\beta_{z}}{||(1-\beta_{x}y)\varepsilon_{0}\cos H_{x}|^{2}-\beta_{z}^{2}\varepsilon_{0}\cos^{2}H_{z}+b-d||}$$

$$=\frac{|(1-\beta_{x}y)\varepsilon_{0}\cos H_{x}|^{2}-\beta_{z}^{2}\varepsilon_{0}\cos^{2}H_{z}+b-d|}{||(1-\beta_{x}y)\varepsilon_{0}\cos H_{x}|^{2}-\beta_{z}^{2}\varepsilon_{0}\cos^{2}H_{z}+b-d||}$$

$$\frac{1-\beta_x\sqrt{\epsilon_0}\cos\theta_x-\beta_z 1/s_0\cos\theta_z+a}{(1)}$$

 $a = A \frac{\beta_{x}c}{\omega};$

$$b = \frac{\beta_x^2 c^2}{\omega^2} \left\{ A^2 \left(1 + \frac{\beta_x^2}{\beta_x^2} \right) - 2A \frac{\omega}{c} \left[\sqrt{\epsilon_0} \cos \theta_x - \frac{\beta_x}{\beta_x^2} \left(1 - \beta_x \sqrt{\epsilon_0} \cos \theta_x \right) \right] \right\};$$

$$d = \frac{\beta_{\varepsilon}^{2} c^{2}}{\omega^{2}} \left(B^{2} - 2B \frac{\omega}{c} \sqrt{\varepsilon_{0}} \cos \theta_{y} \right);$$

$$F = \frac{1}{\sigma} \left[A \left(\beta_x \sin \Theta_x - \beta_z \cos \Theta_x \cos \Theta_x \right) - B \beta_z \cos \Theta_x \cos \Theta_y \right];$$

$$G = \frac{c}{\omega} (A \cos \Theta_v - B \cos \Theta_x);$$

$$A = mp$$
; $B = st$; $m. s = 0, \pm 1, \pm 2, \ldots$

$$\psi = \frac{v}{c} \sin \psi \qquad \psi = \frac{v}{c} \cos \psi$$

 $\cos H_x = \sin H \cos \varphi$, $\cos H_y = \sin H \sin \varphi$, $\cos H_z = \cos H$,

Ө-угол излучения.

Формулы (3), (4) значительно упрощаются, если излучение наблюдать в плоскости (x, z) и одну из сред считать вакуумом.

Рассмотрим конкретные примеры коэффициентов разложения карактеризующих вид поверхности. Ограничимся простейшим случаем одномерной неровности, предполагая, что z зависит только от x. Для синусордальной поверхности $z = a \cos px$ имеем:

$$L_m = (-i)^m J_m(\varphi),$$

где $J_m(v)$ — функция Бесселя порядка m, в ес аргумент

$$o = \frac{a_0}{3\pi} (1 - 3\pi) z_0 \cos \Theta_x - 3\pi \Gamma z_0 \cos \Theta_x. \tag{5}$$

При наложении на периодическую поверхность z = f(x), характеризуемой коэффициентами L_m нолнистости z_1 а соврем с периодом, в нелое число раз р меньшим периода функции f(x), мы получаем для коэффициентов поверхности $z \nmid z_1$ следующее выражение

$$L_m = \sum_k (-i)^k J_k (\rho) L_{m-k\alpha}$$
.

Наконец, рассмотрим гофрированную поверхность

$$z = f(x) - a\left(1 + \frac{4x}{l}\right), \quad -\frac{l}{2} \le x \le 0;$$

$$z = f(x) - a\left(1 - \frac{4x}{l}\right), \quad 0 \le x \le \frac{l}{2}.$$

для коэффициентов разложения этой поверхности получаем

$$L_m = \frac{i^{m+2p}}{\left(m\frac{\pi}{2}\right)^2 - p^2} \sin\left(\frac{m\pi}{2} + p\right).$$

Следует заметить, что если о мало, то заметные значения имеют плько первые члены ряда, так как функция Бесселя имеет порядок величины о^т. Напротив, когда о велико, первые члены малы, между тем как ряд сходится медленее. Для некоторых о в отдельных наприялениях излучение исчезает. Отсюда можно сделать заключение, что глубокая волнистость при малом у имеет такой же эффект, что и мелкая при большом

В заключение приношу глубокую благодарность член-корр. АН Армянской ССР М. Л. Тер-Микаеляну за обсуждения.

Институт физических исследований Академан наук Армянской ССР

P. U. PRYESUY

Անցումային նառազայթումը պաշբեշական աննաբրություններով սանմանի վշա

JULIPALYPA TORURED PSHEE

Г. R. Harutyunian, R. A. Hovhannissian, В. О. Rostomian, Phys. Lett., 37 A. (1971) М. Л. Тер-Микаслян, Р. А. ПАН Арм ССР, т. LV. 1 (1972).

1.V 1972

УДК 53 01 15+517+538

фа мівое

теоретическая физика

фазолос

Академик АН Армянской ССР А. Г. Иосифьян

О динамике электромагнетона как кванта деиствия

(Представлено 21/VII 1972)

В настоящем исследовании излагается теория электромагнегона как кванта Действия, который проявляется при взаимодействии с атомис-кристаллической решеткой пещественных масс либо как электроп
в поле векторного потенциала А, либо как флюксоид в поле векторного
потенциала К в системе дуальных инверсио-сопряженных дифференциальных уравнений (1) пространства «Q» и «Ф» в форме:

пр странство флюксонда пространство электрона $rot \, \overline{E^*} = \overline{z} + \frac{d\overline{B}^*}{dt}$ $\operatorname{rot} \widetilde{E} = -\frac{\partial \widetilde{B}}{\partial t}$ (1) $\cot \vec{H}^* = -\frac{d\vec{D}^*}{dt}$ $\operatorname{rot} \widetilde{H} = \widetilde{j} + \frac{\partial \widetilde{D}}{\partial t}$ (21) $\operatorname{div} B^{\bullet} = \emptyset \quad \operatorname{div} D^{\bullet} = 0 \quad (3')$ $\operatorname{div} \overline{B} = 0; \operatorname{div} \overline{D} = 0.$ (3) $I = g_{i}V = NqV$ x - 4, V = N = V = (4) (4) $\vec{D}^* = \operatorname{rot} \vec{K}$ $\overline{B} = \operatorname{rot} A$ (5") (5) $m_e \frac{d\vec{V_e}}{dt} = z(\vec{H^*} - |\vec{D^*} \times \vec{V_e}|)$ $m_s \frac{dV_g}{dt} = q(\overline{E} + |\overline{V}_s \times \overline{B}|)$ (6) $L_e = T_e - e\Phi_e + e(V_e A)$ $L_* = T_* - \varphi \Phi_* + \varphi (\overline{V}_* \overline{K})$

Значення параметров электромагнитного поля и параметров, выдлящих в уравнение Лоренца и в лагранжнаны, общензвестны Их значения в дуально-сопряженной системе обозначены звездочкой.

Вопрос о введении магинтного заряда был рассмотрен с других физических позиций рядом авторов (2). Основным источником многих грудностей в этих теориях является гот факт, что в них используются обычные уравнения Максвелла с двумя источниками. До сих пор шудалось на основе подобных теорий построить лагранживи, приволящий к этим уравнениям. Кроме того, в кавитовой теории возникает вопрос о наблюдаемости «сингулярной нити» векторного потенциала и некоторые другие вопросы. Подробное обсуждение этих проблем и трудностей теории с двумя источниками изложено в (2)

Предлагаемая нами система уравнений, по-видимому, сможет прездолегь эти трудности, поскольку дается новая физическая интерпретация магнитных и электрических источников. Теория становится лагранжевой, благодаря использованию двух векторных потенциалов и представлению о двух сопряженных фазовых пространствах. Наличие второго векторного потенциала в развиваемой здесь геории дает возможность получить условия квантования электрического заряда независимо от квантования магнитного заряда подобно условиям квантования магнитного потока в теории сверхпроводимости. Дальнейшее развитие излагаемой теории, связанное с процессом образования кванта Действия вредусматривает анализ электромагнитных явлений при деформациях и изменениях контуров интегрирования векторных потенциалов.

Рассматривая электродинамику движущихся сред. Максвелл (3) на основании анализа изменения магнитного потока $\Phi = \int_{\mathbb{R}} Adl_r$, обу словленного движением и деформацией контура интегрирования, заме-

вил уравнение (1) уравнением:

$$\operatorname{rot} \overline{E} = -\frac{\partial \overline{B}}{\partial t} - \operatorname{rot} |\overline{B} - \overline{u}_{e}|;$$

$$\overline{E} = -\frac{\partial A}{\partial t} - \operatorname{grad} \Phi_{e} - |\overline{B} \times \overline{u}_{e}|, \tag{7}$$

та — скорость деформации контура в точке действия векторного поля.

Максвелл предполагал, что контур интегрирования неподвижно связан с контуром движущихся тел, что обусловливает увлечение полядинжущимися телами, как это имеет место во всех электромеханических системах в виде линейных двигателей и генераторов, когда цепь нозбуждения и цепь нагрузки (контуры интегрирования) двигаются послучательно или деформируются со скоростью и, в абсолютном пространственном и временном континууме (г, 1).

В соответствии с принципами, изложенными ранее (), рассмотрим движущуюся среду и изменение электрического поля диполя (электрического потокосцепления) $q = \sqrt{1 - 1}$ обусловленного движением и деформацией контура. Заменим уравнение (2') с учетом (5')

уравнением:

$$\operatorname{rot} \vec{H}^{*} = -\frac{\vec{u}}{\vec{u}} + \operatorname{rot} |\vec{u}_{2} \times \vec{D}^{*}|;$$

$$\vec{H}^{*} = -\frac{\vec{u}\vec{k}}{\vec{u}} - \operatorname{grad} \Phi_{\gamma} + |\vec{u}_{\gamma} \times \vec{D}^{*}|. \tag{8}$$

Подставляя (7) и (8) в уравнения (6,61, характеризующие взаимодействие вещественных тел (частии) с электромагнитным полем, имеем:

$$m_{e} \frac{d\vec{V}_{e}}{dt} = \eta \left(-\frac{\sigma A}{ct} - \operatorname{grad} \Phi_{e} - [\vec{B} \times \vec{u}_{e}] - [\vec{B} \times \vec{V}_{e}] \right);$$

$$m_{e} \frac{d\vec{V}_{e}}{dt} = \left(-\frac{\sigma \vec{K}}{\sigma t} - \operatorname{grad} \Phi_{e} + [\vec{u}_{e} \times \vec{D}^{\bullet}] + [\vec{V}_{e} \times \vec{D}^{\bullet}] \right). \tag{9}$$

Интегрируя эти уравнении в пределах от 0 до ℓ , определяющих времена нарастания скоростей $\vec{V}_{+},\;u_{z},\;\vec{V}_{e},\;u_{e}$ от 0 до их значений в мо-

мент / в неподвижной системе отсчета, определяем выражения линами ческих импульсов в пространстве и и и в форме:

$$m_{*}V_{*} + \frac{1}{2}K + \frac{1}{2}\left(\int_{\delta} \operatorname{grad} \Phi_{*} dt - \int_{\delta} |B| - \frac{1}{2}|dt - \int_{\delta} |B| - \frac{1}{2}|dt|\right);$$

$$m_{*}V_{*} + \frac{1}{2}K + \frac{1}{2}\left(\int_{\delta} \operatorname{grad} \Phi_{*} dt - \int_{\delta} |D|^{2} - \frac{1}{2}|dt - \int_{\delta} |D|^{2}|dt - \int_{\delta} |D|^{2} - \frac{1}{2}|dt - \int_{\delta} |D|^{2} - \frac{1}{2}|dt -$$

При рассмотрении процессов взаимодействия электромленитног поли с силовыми центрами кристаллической решетки идеального (бе потерь) гармонического осциллитора, индуктивности L и емкости С, на ходящегоси в условиях сверхпроводимости, иводится, как указано в работе (1), две функции Шредингера " "," и Ч , " соответствение для электронов и флюксоидов. Учитывая возможность использования функций Шредингера в классическом смысле для пвлений сверхпрово лимости в форме связи плотности электрического заряда р, и магнит ного заряда р, с Ч, Ч.,

$$\Psi_{r} = \prod_{P_{r}(r)} \exp\left(i\Theta_{r}(r)\right); \quad \Psi_{r} = \prod_{P_{r}(r)} \exp\left(i\Theta_{r}(r)\right), \quad (11)$$

можно получить значения динамических импульсов, используемых в ма тематическом формализме квантовой электродинамики в виде:

$$m_{\tau} \overline{V}_{\sigma} + q \overline{\Lambda} - \overline{\nabla} \Theta_{\tau} \hbar; \qquad m_{\tau} \overline{V}_{\tau} + s \overline{K} = \overline{\nabla} \Theta_{\tau} \hbar; \qquad \hbar = \frac{\hbar}{2\pi}$$
 (12)

тде СН, и СН — градненты фазы функцій Шредингера, имеющие классический физический смысл.

Отметим, что в общем случае система уравнений V, описывающих взаимолействие электромагнитного поля с веществом V, якляется нели нейной. Именно этой нелинейностью можно объяснить необратимость процессов излучения электромагнитной энергии из открытого LC колеба тельного контура.

В условиях сверхпроводимости идеальный гармонический осциллятор является линейной системой и обладает следующими свойствами

11 квазистатическим состоянием, в котором максимален магинтиын поток:

с эпергиен

$$W = \frac{1}{2} \left| \int_{S} A \, dI - \int_{S} \tilde{f} \, dS \right|_{wast} = \frac{w_{iJ_{wast}}}{2} \,, \tag{13}$$

где / — ток в L.

б) квазистатическим состоянием, в котором максимален электрический заряд диполя С

т энертией

$$W = \frac{1}{2} \left| \oint \vec{K} \, d\vec{l} \cdot \int \vec{z} ds \right|_{\text{wave}} = \frac{q_0 \, V_{\text{max}}}{2} \,, \tag{14}$$

папряжение в С

Учножая выражения диначических импульсов (12) на элементы контуров dl, и dl, в ортогональных фазовых пространствах «в» и «ф» и интегрируя по заминутым контурам векторные потенциалы, имеем:

$$| m_{\nu} V_{\nu} dl_{\nu} + q | Adl_{\nu} - h | \nabla \Theta_{\nu} dl_{\nu};$$

$$| m_{\nu} V_{\nu} dl_{\nu} + s | Kdl_{\nu} - h | \nabla \Theta_{\nu} dl_{\nu};$$

$$(15)$$

Применяя лагранжев принцип экстремума Действия (4)

$$\delta \Sigma \int mVdl = 0.$$

получаем с точностью до постоянной условия квантования «вмороженного» магнитного потока в форме флюксонда через куперовскую парт нектронов q = 2e и условия квантования электрического «вмороженного» потока через флюксонд q;

$$q \mid Adl_s = 2\pi n\hbar$$
: $\Rightarrow \mid Kdl_s = 2\pi m\hbar$, $n = 1, 2, ..., n, m = 1, 2, m$ (16)

Как известно, электромагнитиме процессы идеального сверзпровидиимового осциалятора являются обратимыми, связвиными с примым и обратими преобразованием магинтного поля в электрическое и миграшей энергии в спответствии с выражениями (13) и (11). Гля этих пловий контуры интегрирования векторных потенциалов А и А являются исизменными и фиксированными. Изменение во времени этих потенцианов определяется дифференциальными уравнениями:

$$\Phi + \omega^2 \Phi = 0$$
; $\omega = \frac{1}{VLC}$; $q + \omega^2 q = 0$,

и следовательно.

$$\ddot{A} + \omega \cdot \ddot{A} = 0$$
; $\ddot{K} + \omega \cdot \ddot{K} = 0$.

пеф игновенное значение магнитного потока;

q — миновенное значение электрического заряда.

Ели контур LC по своей геометрической конфигурации является от ментым с ислучением электромагнитной эпергии, то система LC становится нелинейной и соответствующие контуры интегрирования векторных и тепциалов A и K уже не могут быть неизменными и фиксированными Их деформация — изменение во времени и пространстве внесте потенциалами должна отразить нелинейный процесс образования княнга Действия, связанный с квантованной поверхностью и квантованными объемом.

Проведенное исследование позволяет сделать следующие выводы Введение в теорию электричества и магнетизма двух источников электромагинтного поля в форме электрона для электрический поля и фискенда для магнитного поля, данжение которых в двух сопряжених фазовых пространствах описывается двумя Лорени-инвариантными системами уравнений электромагнитного поля, позволяет определиты сопряженных лагранжимиа, характеризующих электрические провоссы в соответствующих нолях скалярного и векторного потенциалов электромагнитного поля.

Паличие системы двух лагранжианов дает основание формулиро вять принцип дуально-соприженных уравнении (15), (16), и которых

видит Действия проивляет себя как электромагнетон

Электромагнетону соответствуют две константы связи, характери зующие взаимодействие электромагнитного поля с неществом, особо проявляющим себя в условиях сверхпроводимости: одна в форме квантованного заряда электричества в поле векторного потенциала І магнитного поля, другая в форме квантованного заряда магнетизма (флюксонда) в поле векторного потенциала А электрического поля

Автор выражает глубокую благодарность участникам семинара заборатории теоретической физики института за активное обсуждение

представленной работы.

Всесоюзный научно-исследовательский институт электромеханики

Հայկական ՍՍՀ ԳՈ ակադեմիկոս Ա, Ղ, ԻՈՍԻՖՅԱՆ

էլեկտուամագնետոնի դինամիկայի մասին որպես Ազդեցության քվանտի

Աշխատանքում տրվում է մադնիսական և Լլեկտրական աղբյուրների նոր ֆիզիկական մեկնաբանություն։

Շնորհիվ մասնիսական դաշտի վնկատր-պոտննցիալի Զև Լլեկտրական գաշտի վեկտոր-պոտենցիալի Է մտցմանը երկու համապատասխան հավասարումների սիստեմում, որոնք գրված են էլեկտրոնի տարածությունում «Q» և ֆլյուկսոիզի տարածությունում «Φ», տեսությունը դառնում է Լագրանժային։ Այդ հավասարումների սիստեմները հանդիսանում են էլեկտրոգինամիկալի երկակի շրբադարձային համալուծ հավասարումներ, որոնք չարադրված են (1)-ում։

րուկ)ար արոսկ)ար դրձ։ «Կուրյար արոսկին ուսար ենտրի ասիտնանան արայարը հիձեր եվարավար «Կուրյարը է դամրիսավար չագաև՝ արվախ դամրիսակար հիձեր եվարատոնաւդին՝ «Կուրյարը գրարանար չագաև՝ արվախ դամրիսակար հիձեր եվարատոնաւդին՝ «Կուրյար արոսին» «Կուրյար» «Կուրյար»

Շարադրվող տեսության (ֆոտոնի) դոյացման հետ, նախատնսում է էլեկտրա կան երևույթների անալիղ A և K վեկտոր պոտենցիալների ինտեդրման տիրույթների ղեֆորմացիաների և փոփոխությունների դեպրում։

ծևով (ֆլլուկսոիդ) և վեկտորական պոտենցիալի դաշտում։

ЛИТЕРАТУРА - ЧРИЧИКИВРВИВЪ

А. Г. Носифьян, ДАН Арм ССР, т. LI, № 1.2 Монополь Дирака, Сборинк статей, изд-ил «Мир», М., 1970. 1.2 А. Максиелл. Избранинае сочинения по теории эзектроматинтного поля ТИГЕЛ, М., 1951. 1.2К. Л. Лограня, Варилиновинае принципы меха инки, ГИФМЛ, 1969.

1972

УДК 541. 128. 24

LV

ФИЗИЧЕСКАЯ ХИМИЯ

Н. М. Бейлерян, Дж. Г. Чшмаритин, член-корреспонделе АП Армянской ССР О. А. Чалтыкан (

О влиянии строения аминокислог на кинетику и механизм их каталитического окисления персульфатом калия в водных растворах.

(Представлено 24/1 1971)

В работе (1) было показано, что амикоуксусная кислота в водных растворах персульфатом не окисляется. Аннон аминоацетат окисляется очень медленно. Ионы Ag и Cu** оказывают малое влияние из скорость окисления аминоуксусной кислоты. Однако в присутствии новов Ag* и Cu * реакция S₂O₅ -NH₂CH₂COO протекает с большой скоростью. На основании этих данных было высказано предположение, что при окислении персульфатом кинетически активным является комплекс хелатного типа:

тае в работе (1) R - H. Интересно было определить влияние положения первичной аминной группы и длины R в молекуле аминокислоты на скорость окисления соответствующего аннона персульфатом.

Все опыты поставлены при одинх и тех же условиях в атмосфер гелия особой чистоты: $[K_*S_2O_*]_n = 1.25 \cdot 10^{-2} M_{\odot}$, $[amhnoxислоти]_n = [KOH]_n = 3 \cdot 10^{-2} M_{\odot}$, $[AgNO_i]_0 = 2 \cdot 10^{-2} M_{\odot}$ и г 30 С За скоростью расходования персульфата следили подометрически.

В табл. 1 приведены кинстические ланные расходования пер-

сульфата в присутствии и в вланинов.

Аналогичные кинетические данные получены также при окислеили э и 9 аминомасляных кислот. Из этих данных следует, что только анноны з-аминокислот образуют с новом Ад кинетически актия-103

Время в минутах	5	10	15	20	25	35	45	
Количество про- реагировавшего пгрсульфата в молях/литр (X - In-	1,5	2.6	3.0	3.5	4.2	4.5	5.3	CH ₁ C COOH NH ₂
	0.1	0.2	0.2	0.2	0.2	0.2	U.2	H CH ₂ C COOH H NH ₂

ные комплексы. Для изучения влияния длины алифатической цепи (R) и 2-аминокислотах и: ма определялась скорость расходования пер-

Н сульфата в присутствии Ау и аппонов глицина (НС—СОО), 2-аля NH₂

Оказалось, что в присутствии нонов Ag' и этих анионов персульфат распадается с одной и той же скоростью. Отсюда следует, что длина алифатической цени не влияет на реакционную способность 2-аминокислот.

Таким образом, реакционная способирсть в ряду исследованных нами аминокислот по отношению к катализированному понами Ag * окислению персульфатом определяется положением группы NH_a: кинети-

Предварительные данные по изучению влияния кислорода и стабильного иминоксильного свободного рад исила показали, что реакции

$$S_2C_8^{--}$$
 - R - C— COO -- Ад радикально-ценные, хотя цени короткие. NH₂

Хроматографическим внализом газообразных продуктов реакций обнаружен только углекислый газ. Это указывает на то, что ванон 2-аминокислот полностью декарбоксилируется.

Чтобы установить природу полученных после декарбоксилирогания продуктов реакции проводилось полярографическое изучение реакционных растворов после полного расходования персульфата Оказалось, что одним из продуктов каталитического огнеления аннона 2-яминокислог является сооти этстаующий а пь цетил (табл. 2)

			Tab.ma 2
Взятая аминокис-	H C COOH NH ₂	CH, C COOH NH ₂	CH ₂ (CH ₂) -C - COOH
образовавшийся дитэт акв	НСНО	CH2CHO	CH ₂ (CH ₂) ₂ CHO

В продуктах реакции было обнаружено 10% формальдегида при окислении глицина и 53% ацетальдегида при окислении 2-аланина.

По-видимому, промежуточно образуется соответствующий енамян или ямии, а альдегил является результатом их гидролиза:

Следовательно, в результате каталитического окисления 2-амипокиелот персульфатом происходит гомолитический разрыв связей

Ерепанский госуларственный университет

> Ն Մ, ԲԵՅԼԵՐՅԱՆ, Զ - ՀՇՄԱՐԻՏՅԱՆ, Հայկական ՍՍՀ ԳԱ բզբակից-անդամ Հ. ՉԱՀԹԹՅԱՆ

Ա<mark>մինաթթվի կառուցվածքի ազդե</mark>ցությունը շրաչին լուծույթում նշանց պեշ– սուլֆատով կատալիտիկ օքսիդացմաս կինետիկայի և մեխանիզմի վշա

Սույն աշխատանքում մի բանի ոն համինակկուների պերսուլֆատով օքսիղացման օրինակի վրա որ և արված, որ Ջg իսնի ննրկայունյամբ օք-

որդացման նկատմամբ կինետրկորեն ակտիվ է —C ((() խմբավորումբ։ NH₂

որակցիոնունակության վրա։
Որոշելով պերսուլֆատի ծախաի արևորությունը չի ազդում 3-ամինաβթուների
Որոշելով անիստիկ շղթայի երկարությունը չի ազդում 3-ամինաβթուների
Որոշելով անիստիկ նրայի երկարությունը չի ազդում 3-ամինաβթուների

յություղը ություրայի արտարի արտանին արտանին

թթվածնի է իմինօրսիլային կայուն աղատ ռադիկայի ազգեցության ուսումնասիրությունից հղրակացվել է, որ հիչյալ ռեակցիաները կարձ ՀԻՂ-Քաներով դարդացող ռադիկալային ռեակցիաներ են։

JHIEPATYPA TRUUDONERSON

1 H_{*} М Бейлерия, О. А. Чалтыкин, Р. М. Акомян, Дж. Г. Чимаритич, Ми мински ЕГЗ М 3, 143 (1970)

LV 1972

YAK 631.46 577.15

АГРОХИМИЯ

А. III. Галстын

О ферментативном восстановлении двуокиси марганца в почее

(Представляено вы цемнком AH Армянской ССР Г. С Давляном I II 1972)

Природа реакции восстановления двуокиси марганца в почве почти не изучена. Выяснение этого вопроса представляет определенный научный интерес, так как можно будет получить сведения о сущности процесса образования двухавлентного марганца в почв. являющегося основным источчиком питания растении этим элементом (1-1). Мы пытались установить возможное участие ферментов в этом процессе и разработать метод определения их активности.

Обнаруженный в полве фермент отлосится я классу оксидоредуктаз; его систематилеское изэзание -Восстановленный НАД (ф): МпО_в оксидоредуктаза (1, 6, 9) ...), рекомендуемое тривияльное название МпО_в редуктаза (1). На основания изучения зависимости действия МпО_в редуктаза и инвы от протолжительности инкубации, тем пературы, рП, количе тва навески, субстрата и донаторт водорода предложен метод определента активности этого фермента, основанный на количестветном учете воссти разентого маргинда персульфитаным способом (4).

Навески (1 г) в эздушло-сух д потвы, просеящой через сиго с отверстиями днаметром в 0,25 мм, помещали в 100-миллилитровые колбы с притертыми стеклянными пробками, прибавляли 20 мг тонконзмельченной двуокиси марганца и 20 мг углекислого кальция. Тщательно перемешлиали, затем добавляли 2 мл 1 % - пого раствора глюкозы в ка тестае д интора водорода. В эздук из колбы эздкупровали при разряжении 10—12 мм рг. ст. Колбы осторожно встрихивали и ставали в термостат при 31 на 43 часов. Контролем служили стерилизованная почва (18) за 3 част), субстраты без почвы и почта с водой После выдерживания почвы с субстратом восствовленный марганей экстрагировали 0,4 % ным Na₂SO₂ · 7H₂O в нейтральном 1M растворе вцетата аммония. В колбу прибавляли 25 мл указанного раствора и взбалтывали в течение 30 мил. 5 мл фильтрата в фарфороной чаш

ке выпаривали лосухи. Сухой остаток обрабатывали концентрированной НКО, (1 мл) и пергидролем (2 мл) для окисления органического вещества и удаления хлора. Эту процедуру понторяли до получения белого осадка. Затем осадок раствориля в 0,5 мл концентрированной НКО, и дистиллированной подой переносили в 100-миллилитровые мерные колбы. К раствору добавляли по 0,5 мл концентрированиях Н.SO, и Н.PO, 1 мл 2 %-ного раствора АдКО, и 0,2 г персульфата аммония или калия. Колбы изгревали на электроплитке до появления первого пузырька. Прябавление персульфата повторяли до появления первого пузырька. Прябавление персульфата повторяли до появления первого пузырька. Прябавление персульфата повторяли до появления первого пузырька прябавление персульфата повторяли до появления и устойчивой розовой окраски. Колбы охлаждали до комнатной температуры, облем раствора дистилированной водой доводили метки и фотоколој иметрировали прибором ФЭК-М. Использовали по метки и фотоколој иметрировали прибором ФЭК-М. Использовали поми кюзеты и зеленый светофильтр. Активность МпО, редуктазы выражали в миллиграммах восстановленной МпО₃ на 10 г почвы Ко-

личественный учет восстановленной личекиси марганца был произведен с помощью калибровочного графика (рис. 1), полученного из пидартных растворов марганцово ислого калия. Для этого Юмл О и, раствора КМпО, переносили п 100-миллилитровую мерную колбу и объем доводили водой до метки. 1 мл такого раствора содержит и и марганца. Из этого раствора приготовили шкалу.

Опыты показали, что в вназробных условиях в почве происходит восстановление днуокиси мартинна до лиухралентного состояния:

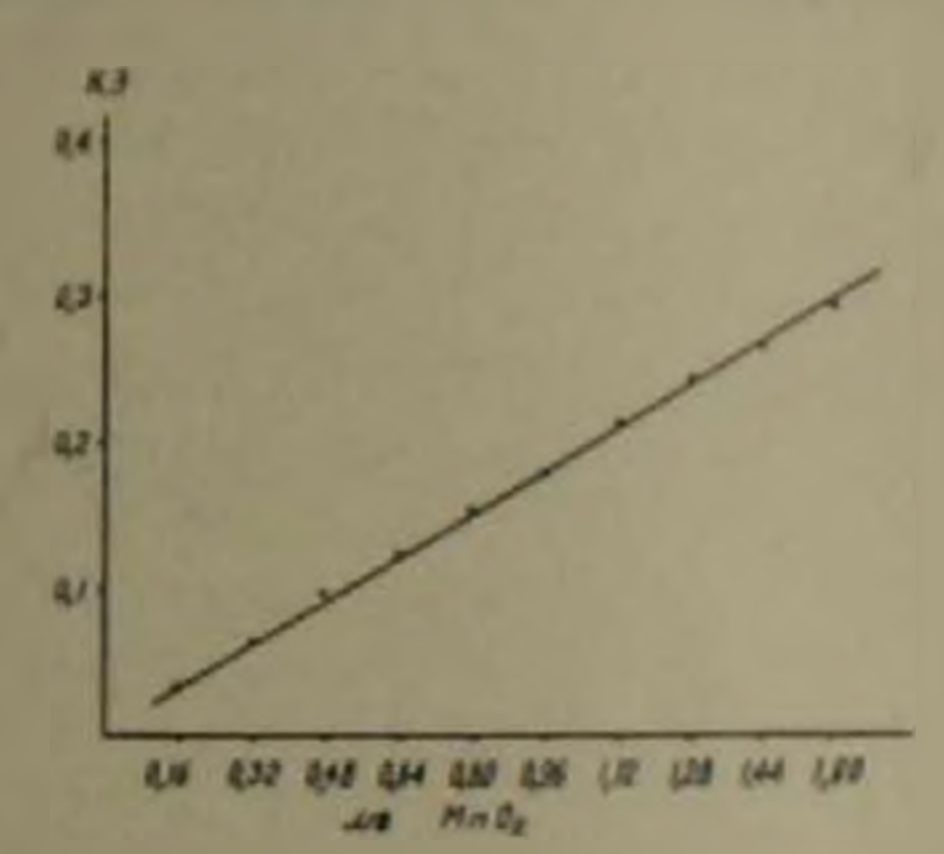


Рис 1. Калоброночный график поличен марканца для филоколориметрического определения активности МпО, редуктамы полим

$$MnO_a$$
 4H $2e \longrightarrow Mn^2$ $2H_aO_a$

пореносчиком водорода я сляются дегидрогеназы. Стерилизиция почвы сухим жаром и прабавление ингибитора цианистого натрия полностью с имает действие ферментов, осуществляющих посстановление двуокиси марганци (тгбл. 1). При этом происходит инаптивация дегидрогеназ почвы, в системе которых действует МпО₂ редуктаза

Для установления ферментативного характера реакции восстановления двускиси марганца в почве было илучено влияние доваторов водорода и коферментов НАД (Ф) и ФАД (попортные пренараты) на активность МвО_в резукталы (табл. 2). В почве бел прибавления субстратон происходит слабое восстановление двускиси марганца. Злесь реакция осуществляется оксидоредуктазами, гле донатором водорода является органическое вещество почвы (R—H₂). Пре прибавлении коферментов- НАД (Ф) и ФАД (0,5 мг) и донаторов водорода глюкозы и зимонной кислеты (20 мг) наблюдается ускорение реакции вос-

Влияние стерианзации и чигибирования на восста

Варианты	Востановаения МпО2.		
froi had man am	черпоз е м	карутанопая	
Почна-1-МпО ₂ -; глюкоза	23.0	17.0	
Стерилизованияя почва МпО ₂₁ -глюкота	0.0	0.0	
Почна NaCN	0.0	0.0	
Контроль почва НаО	0.96°	0.60°	

* (Ma2 , wall

становления MnO, в почве, что указывает на ее ферментативный карястер. Наибольший эффект получается при прибавлении кофермента

Габлица 2
Влияние коферментов и донаторов во юроза на
активность МпО₂ - резуктазы бурой почим

Варнанты	экстинкини Каяффициент	Активность, лг. МпО, на 10 г. почвы
Have by orbotaton	0.02	3.6
Ночва без субстратов НАДФАЧ	0.03	5.1
Production of the contract of	U . 07	12.0
втокона ислогия	0.06	10.0
НАЛ- гликоза	0.12	20.0
— "— НАД ФАД глю- кгэт	0.21	34.6

флавинадениндинуклеотида. По-видимому, МиО₂ – редуктаза относится к флавопротендам (*) и ФАД участвует при переносе водорода к кислороду двуокиси марганца:

$$R$$
 H_2 $HAД(\Phi)$ \longrightarrow $R = HAД(\Phi) \cdot H = H^*$ $HAД(\Phi) \cdot H$ H $\Phi AД$ \longrightarrow $HAД(\Phi)$ \rightarrow $\Phi AД \cdot H_2$ MnO_2 $2\Phi AД \cdot H_2$ \longrightarrow Mn^2 $2H_2O$ $2\Phi AД$

Следовательно, кислород пиролюзита в почве может служить акцентором водорода при дыхзнин анаэробных микроорганизмон, в частности железо-марганцовых бактерий (²

Активность MnO₂ редуктазы в различных типах почв неодинакова (табл.3). Она сравнительно активна в почвах, богатых органическим веществом, где обнаруживается интенсивное действие дегидрогеняя (*). Оптимум рН действия MnO₂—редуктазы гаходится в слабо-

Активиссть ИвО, результалы различиму лира гоча

The state of the s					
Почва	Тумус. %	FH. 11.0	AKTHINIOCIE, ME MnO2		
Лугово черноземная Чернозем выщелоченный Каштановая карбопатная Бурая полупустынная Мелиорированный солончая	7 · 1 7 · 1 3 · 1 2 · 2 1 · 1	5.2 6.8 4.6 8.2 7.5	24.2 17.0 12.3 8.0		

щелочном интерпале pH 8,0 8,5. Гепловая внястивация фермента начинается при 60°.

Таким образом, в ферментной системе почвы обнаружено дейстние MnO₂—релуктазы (Восстановленный НАД(Ф) МпО.—оксидорелуктаза, 1. 6. 99. . .), которая мобилизованный дегидрогеназами вогород органических веществ передает кислороду двуокиси марганца, осуществляя реакцию ее восстановления. Следовательно, эта реакция имеет ферментативную природу. Разработан метод определения активности MnO₂ редуктазы почвы, играющей кажную роль в процессе мобилизации марганца для питания растении.

Институт почвовеления и агрохимии МСХ Армянской ССР

u. c. vulusauv

Հողում մանդանի հոկօքսիդի վերականդնման ռևակցիայի ընույթի մասին

Ապացուցված է, որ մանգանի երկօքսիդը Հողում Հիմնականում վերականգնվում է ֆերմենտների օգնությամբ, որոնց սիստեմում գործում է մանդանոեղուկտազան։ Այս ֆերմենտը պատկանում է օգսիդառեղուկտազանի դասին։ Նա դեհիդրոգենազների չրածինը փոխանցում է մանգանի երկօքակն թրկարժեր մանդան, որը մատչելի է րույսերի համար։ Սույն ուսումնասիրու-Այունների հիման վրա մշակված է մանգանել կօքսիդ-ռեղուկտազայի ակտիվության որոշման նղանակ։

ЛИТЕРАТУРА— ТРЦЧЦЪПЕРВОЕЪ

191 В Педас, Биохимия почв. М., 1961. ² П. А. Власиж, Биологические элементы в пинелентельности растении, Киев, 1969 ³ Номенклатура ферментов, М., 1966. ⁴ Минодические указания по определению микроэлементов в почвах и растениях, Плл. АН Латв. ССР, Рига, 1961. ³ Л. Н. Цыпакова, «Почвоведение», № 3, 1967. ³ Н. А. Почительности, Т. Г. Рухиладзе, Сообщения АП Груз ССР, 41, № 3, 1966. В. И. Дуда, Л. В. Калакуцкий, Паучине доклады высшей школы, № 1. 2, 1964. ⁴ А. Ш. Галстан, ДАН СССР, 1, 156, № 1. (1964).

Таблица 3

2

УДК 223 103

ФИЗИОЛОГИЯ РАСТЕНИЯ

Часи-копресноидент АН Арминской ССР В. О Казарян. И. А Казарян

К вопросу о роли корией в процессах генеративного развития растений

(Представлено 22 1 1972)

Участие корией в синтезе хлорофилла (1 2), разнообразных ферментов (1-4), аминокислот (5-4), кининов (7) и других физиологически вктивных соединений свидетельствует об их важнейшей роли в общей жизпедентельности, в том числе и в процессах генеративного развития растений. Вопреки этому имеются данные, показывающие, что у короткодневных видов фотопериодическая реакция и последующее в ней зацветание растений могут осуществляться независимо от наличня корией (* *). По, как известно, с удалением корией или изолирнашися листьев резко подвеляется функциональная активность листы в (") и вряд ли в этих услозиях козможно длительное существован е растения с проявлением даже фотопериоди теской реакции. При таком обстоятельстве один из возможных при иш зацветания растений безкорней, видимо, заключается в том, что многие короткодневные ра тения, в том числе и краснолистная перилла, проявляют повышенную способность формировать новые кории при их ежедиевном удалении. Жизнедеятельность таких зачаточных корней оказывается достаточной для обеспечения прохождения фотопериодической реакции.

Для экспериментального подтверждения этого предположения нами в вегетационных сезонах 1968—69 г. были проведены некоторые опыты с короткодневной краснолистной периллой (Perilla nankinensis L.) и дуриншником (Xanthum Stromarium L.). В первом опыте мы попытались выяснить влияние общей мощности корней на скорость миветания подопытных растений. С этой целью перед перенесением на короткодневные фотопериоды, у соответствующих групп растений, в каждой по 5, были оставлены 100, 75, 50 и 25 ч корней. Затем их перенесли в условия волной культуры и короткодневных фотопериодов и в дальнейшем сохранялась та разница в мощности корней, которая были создана с начала опыта.

Результаты наблюдений за ходом зацветания опытных растений (табл 1) наглядно показывают прежде всего неодинаковое поветс

ние периллы и дуряншника в отношении в эпины мыци сти корией на сроки наступления бутонизации и цветения Пералла ускориет переход к генеративному развитию по мере сокращения масты корией.

Раблада 1 Вличне мяс ы кориен на тенеративное развити растения и у повит кирилаганениых фотопериэлов

Варканты	Начато воз-	Пачало б	TON H SAININ	H mano neesenna	
	potens in m	периала	за Бинетина и	ne paraza	тариния из
Контраль 75 ч кориси кориси кориси	2 VII 2 VII 2 VII 2 VII	14 VII 12 VII 11/VII 11 VII	12 VII 12 VII 12 VII 12 VII	30 VII 29 VII 27 VII 23 VII	19 VII 19 VII 19 VII 19 VII

тогда как у дурнишника наблюдается запаздывание и бутопизации и цветении при уменьшении мощности корневой системы. Если исходить на результатов этого опыта мы вправе заключить, что кория периллы даже и некотором отношении препятствуют ускорению цветения, в последнее у дурнишника будто совершению не зависит от наличия корней.

Ускорение наступления г неративной фазы у периллы при умени шении массы корией, нероятно, следует объяснить как физиологической готовностью растений к носприятию фот периодического воздей стипя, так и меныним поступлением ассимилитов к слабо представления кориям и их использованием для диффер ициации почек.

Решающее значение корней в процессах генеративного развития проявляется в более ранних периодах оптогенеза, когда растения сще не проявляют повышенную готояность к восприятию оптимальных для цветения фотопериодов. Регулярное удаление вновь формирующихся кор јей на этом этапе онтогенеза праводит к существенному понижению чувствительности растений к фотопериодическому возделествию (табл. 2).

Таблица 2
Влияние узаления корпей зо фотовернодического ноглействия на буточизацию в
пветение дурнишиния

Варианты	Havaso mod- sedictum no- portum Anem	Начало бугонизации	Начало инетения
Контроль	[9 VII	29 VII	5 VIII
Уталение корней за 10 дней то коротких фотопериолив	19 711	1 VIII	10 VIII
Удаление корней за 15 дней 10 коротына фотопериодов	19 VII	6, VIII	18 VIII
ладение корней за 20 дней до коротких фотопериодов	19 VII	10, VIII	Отмерл

Из приведенных в таблаце данных следует, что узаление корней перед фотопериодическим воздействием вызывает задержку генеративного развития, а у последнего варианта даже не наблюдалось дветения: растения отмерли, не достигнув этой фазы (рис. 1). В давном



Рис. 1 Общее состояние подолытных растений дуранциинка с корнями (1 гр.) и без корнен (11 гр.)

случае жизнедеятельность корвей следует рассматривать главным внутренним фактором подготовки растений к восприятию фотопериодического режима и закладки цветочных почек.

Регулярное удаление корпей прежде всего оказывает резко отрицательное влияние на фотосиитез (табл. 3). Листья контрольных растений постепенно успливали актизность фотосинтеза по мере увеличения числа воздействующих оптимельных для цветения фотопериодов. Повышение фотосинтетической активности по мере подготовки растений к зацветению обнаружено многими авторами сще раньше (11-14 и др.) На 15-й день а тивация этого процесса оказалась в 1.8 раза больше, чем на 5-й день фотопериодического воздействия. У растений же, кории которых ежедисвио удалились по мере появления, наблюдалось резкое подавле-

ине фотосингеза, что даже не обеспечинало нормальную их жизпедеятельность.

В последнем опыте мы пытались выяснить поведение растений краснолистной периллы, лишенных возможности формировать новые кории. На этот раз для предотвращения образования придаточных корией инжине зоны стеблей опытных растений, посящие 7 нар разнитых листьев, были очищены от коры и погружены этими частями и питательный раствор. В условиях короткодиевных фотопериодов состояние растений без корией резко ухудшилось: прекратился рост, листья начали увядать, в первую очередь, инжележащие, принимая бледно-зеленую окраску. У одной части растений (И гр.) на 12-й день уровень питательного раствора повысили с гаким расчетом, чтобы нижний край кольцевого напреза соприкасался с раствором для стимулирования корнеобразования. Другая часть (Ш гр.) продолжала оставаться в прежнем состоянии.

Дальнейшее наблюдение за поведением опытных растений (табл. 4) показало, что молодые, энергично растушие растения для прохож-

Ваняние удоления вершей перилав на принципет (ве СО, пастае)

Контроль	После уделения сориси				
W. And Brown	на 5 и день	na 10 n 35m	na la n sens.		
Контроль Судалениями кериями	9.85 3.50	10.50	17.25		

Таблица 4 Бугонилицая и цизтана разгания пратам в запасня от представленности корнен

	Начало			
Варианты	фотонернол полденетии	батопилания	Metenne	
Контроль Растения с регенирующими кориями Растения без кориси	28 VI 28 VI 28 VI	20 VII 25 VIII	29 VII 8) IX	

дення фотопериодической реакции нуждаются в пормяля на развитых кориях. При исключении их образования растения сохраняют кизиедея-

тельность, резко подавляются просте и в дальненшем отмирают не достигая даже фазы очтонизации. В том случае, огда временно функционируют корневые зачатки, растение опять-таки подавляется в росте, но переходит к генеративному развитию с большим опозданием (рис. 2).

Вышеприведенные данные наглядно показывають прежде исего, что роль корней в пропессах генеративного развития неравноценна в различные приоды онтогенези растений. Нормально развитые растения, посящие множество развитых листьев, отличающихся высокой чувствительностью к фотопериодическому воздействию, могут воспринять эту реакцию и переходить к цветению при регулярном удалетению при регулярном регулярном регулярном удалетению при регулярном регулярном регулярном регулярном регулярном



Рис. 2. Ослабление роста и задержив нас тупления бутопизации у разлении пристании пристании корней (Пгр.)

Растення отмерзи на 16-й зень после возденствия оптимальчых фотопернодов

нии вновь образовениихся придаточных корией. При этом даже удаление части корией играет положительную роль в ускорении бутовизации и цветения. Следовательно на давной фазе цветения значение корией в процессах генеративного развития отодвигается на второв влан. Противоноложно этому, на ранней фазе вететативного развития растения, показывающие интенсивный рост без корией не проявляют способности к переходу генеративного развития. Для восприятия оптимальных фотоперводов и заклядки цветочных почек на таких растениях следует сохранить хоти-бы зачатки придаточных корией. Последние, как показывают опыты, не в состоянии обеспечить даже минимальный рост, но стимулируют замедленное прохождение фотопернодической реакции листьями и формирование ограниченного числа бутонов и цветков.

Ботанический институт Академии наук Армянской ССР

Հայկական ՍՍՀ ԳԱ թգրակից-անդաժ Վ. Հ. ՎԱԶԱՐՅԱՆ Ի. Ա. ՎԱԶՍՐՅԱՆ

քույսերի զեներատիվ զարգացման պրոցեսներում արմատների դերի նարցի չուրջը

ծաղկում են Նույնիսկ արմատները սիստեմատիկարար հեռացնելու դեպքում։

Նշված հակասական տվյալների պարդարանման նպատակով մեր կումից 1968—69 թթ ընթացքում դրվել են մի շարբ փորձեր կարմրատերև տաբրեր հասակի պերիլաների (Perilla nankinensis L.) և դուրնիշնիկի (Samuuli stromarium L.) վրաւ

րում, նույնիսկ չեն ապրում մինչև կոկոնակալման փոււր։

ЛИТЕРАТУРА - ЧРИЧИБИКРАПЬТ

1. А. Рубин и В. Ф. Германово, ДАН СССР, 107, 5 (1956) 1. Б. А. Рубин и В. Ф. Германово, Успехи сов. биол., 45, 3 (1958). 1. Н. Ф. Купревич и Т. А. Щербаково, Почвенняя энлимология Минск, 1966 1. В. S. Авгая. New phytologist, 18, 2 (1945) 1. Н. Г. Потапов. О. Н. Солоньева и И. И. Иванченко, Тр. комиссии по прригании АН СССР, 8, 1936. 1. Т. С. Литвинов, Пли. биол. и исслед ин-та Пермск, гос. ун-та. 5, 1937. 7. М. Х. Чаплахян, ДАН СССР, 72, 1 (1950). 1. М. Х. Чайлахян, ДАН СССР, 135, 1 (1960). 2. В. О. Камарян и Ж. М. Акопона, Вопросы онтогенств. пысших растений Тр. ин-та. Ботаники АН Ари. ССР, 1971. 10. В. М. Катумский, Известия АН СССР, сер. биол. и. № 1, 1939, 11. М. О. Ткомаз анд G. К. Н.И., Рапи рругов, 12, 1937, 11. В. О. Камарян, Стадийность развития и старения однолетиях растений. Изд. АН Ари. ССР, 1952.

LV

1972

6)

YAK 595 763.79

энтомол эгня

С. М Яблоков Хизорян

Новые виды жесткокрылых-кокцинеллид из СССР (Coleoptera, Coccinellidae)

(Пр. цетапле ю эл корр. АН Арминскоп С.Р.Э. А. Ценяном 24 XII 1971)

Статья содержит описание трех ногых видон коровок из СССР. 1. Coccinula oresitropha lablokofl-Khnzorian sp. nov.

Голотии, J: Казахская ССР. Карджантау, типчаковая каменистая степь у притока Су-Сингела, 5/VIII 1937, Об хова, из колл. Фургова в музес МГУ.

Верх оранжево-желтый с черным рисунком (рис. 1, а), состоя-

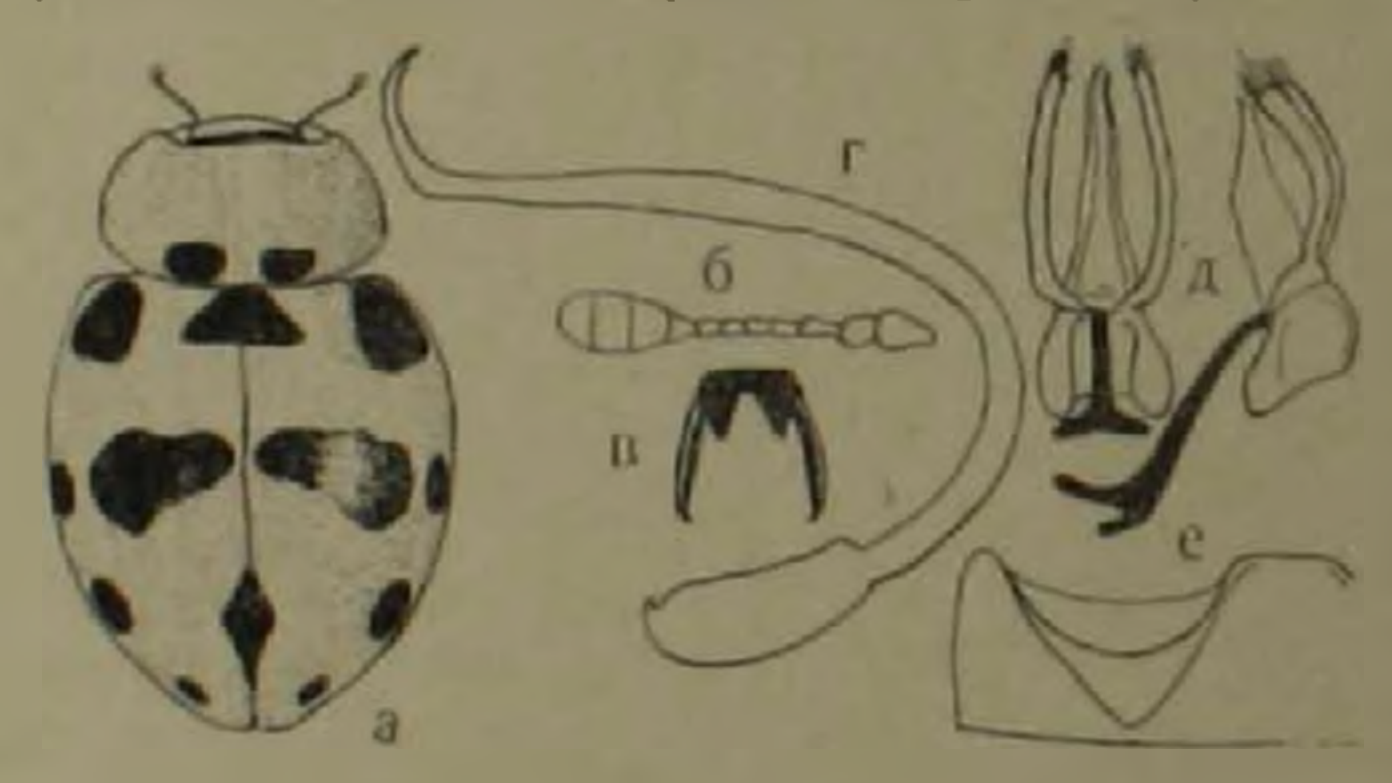


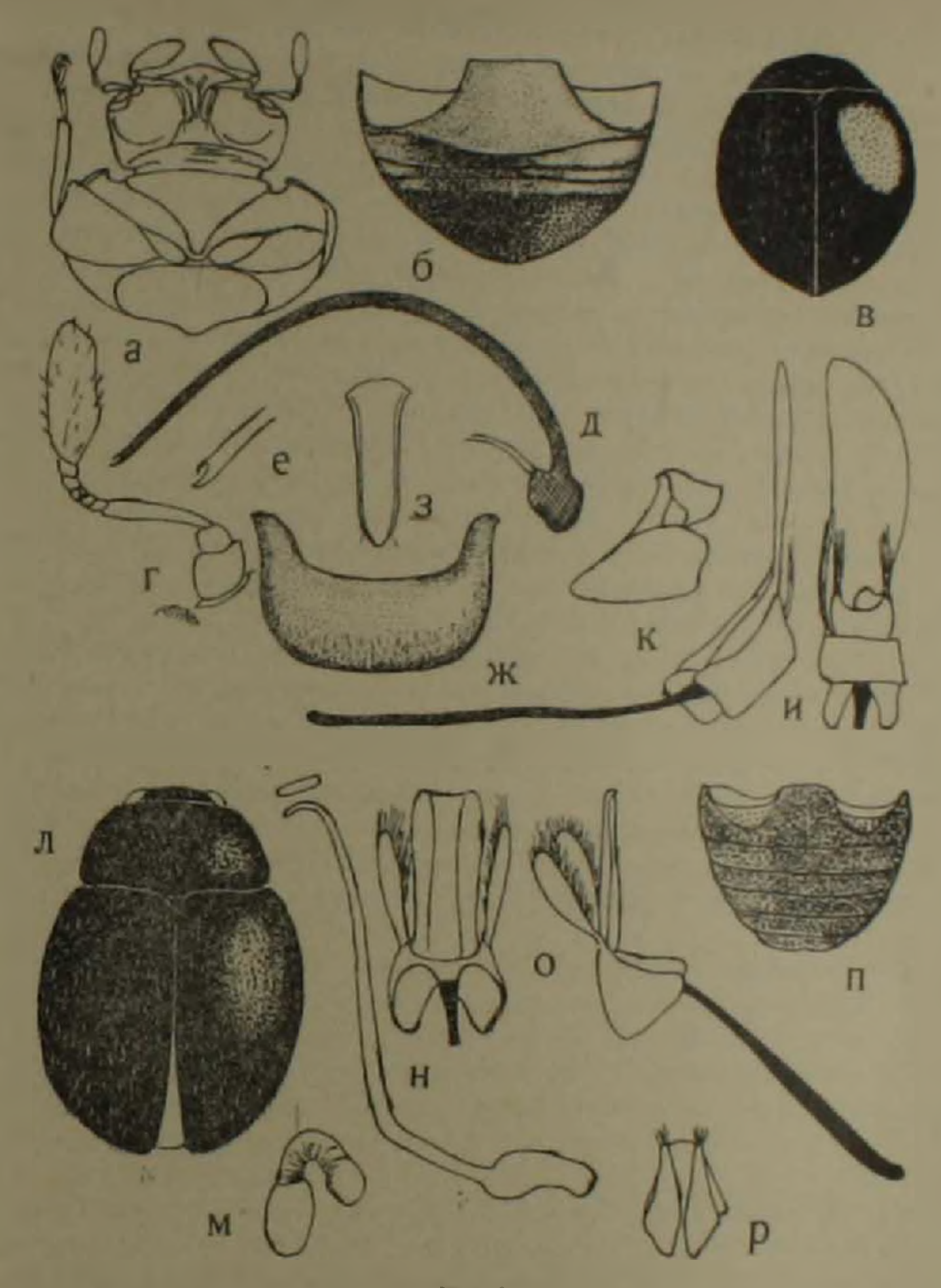
Рис 1.

Соссина отехнаторна вр поч

гологии: а вил сверху 16 б вспай усик 55; в коголки 112. г сифон о в тегн и сиплу и сбоку 56

в часть 3-го уростериита - 25

шим из 2 прищитковых пятен у основания переднеснинки и 12 пятен на надкрыльях, в том числе пара крупных плечевых, одно общее, треугольное прищитковое, казди расширенное, пара больших удлиненных срединных пятен не достигающих шва, между шими и боконым краем по одному маленькому латеральному пятну, не достигающему боконого края, одно большое общее ромбовидное пятно на шве у начала вершинного ската, по одному заднему латеральному пятну на его уровне, по маленькому вершинному пятну, не достигающему краен надкрылий. Переднегрудь желтан, средне и заднегрудь черно-бурые, их



Fuc 2

А. Serangium lygarum Khur, sp. пох тологии о толога и пер гиструть синт 32, б брющко 32, в общин нид 16, г зеный усик 36 д сифон в с о исригина 112; ж 9 и уретериит сперху 56 и—spiculum intrak из. в и имен сбоку и синху 56; к персанструть с передпесникой сбоку 22 и р. Stetho из апштенных Кhur вр. пт : голотия. П. н. о, и) и алантии, у им. ра в общин има 32; м спермятека 112, и сифон (сперху конен сифон при осмори сперху) 112, о тегмен спил и к сбоку 112, и брюнико 32; р синипариные пластияки 36

эпинленры и эпистерны белопатые, брюшко темное с желтым контуром. Поги с пертаугами одношветно желтые, Длина 3,3 и и У 3 лов желтый с черной теменной полосой.

Усики едва длиннее ширины лба. Переднеспинка с равномерно закругленными боковыми краями, ее задине углы широко закруглены. Весь верх покрыт однородной мелкой густой, слегка вдавленной гочечностью на гладком фоне. Выступ переднегруди узкий, без килей. Передний край среднегруди срезан прямо, без следа ямки. Белреппые линии брюшка цельные, кзали почти достигают задиего края их стернита, с переломом (рис. 1, е). Задиегрудь вокрыта мелкой рассеянной точечностью на нежно шагренированном фоне, на брюшке точечность много крупнее и гуще, в загибах бедренных линий расстояние между точками не больше их диаметра. Коготки на месте зубца с большой основной ловастью (рис. 1, в).

У Занальный стернит с дугообрасной вершинной вырезкой. Сифов с простой капсулой без основного зубца, к вершине загнут под почти прямым углом, кончается острием. Тегмен с вилкообразным трабесом, кончающимся 2 длинными отростками, его трубка такой же длины, как узкие парамеры, сильно силющена с боков, кончается острым крючком, отогнутым кнаружи.

Этот своеобразный вид лишний раз свидетельствует об удивительном разпообразни и своеобразии фауны гор Средней Азии. Хотя он по всем основным признакам явно принадлежит к роду Соссіпціа Dobzh., он резко отличается от всех пяти прочих видов рода по рисунку надкрылий. В частности изэлированное пришовное ромбовидное пятно у ската надкрылий неизвестно, не только у прочих видов рода, но и у всех палеарктических представителей грибы Соссіпе!Ни! в целом. От прочих видов рода этот вид можно отличить следующим образом:

- 1 (2) Бедренные линии брюжка цельные и с переломом. Рисунок надкрылий состоит из черных пятей на светлом фоне, в том числе из 2 общих пятей вдоль шва, одинм треугольным у щитка, расширенным кзади, и одним ромбовидным у ската. Переднесиянка желтая с 2 основными пятнами. Капсула без основного крючка. Сифон кончается большим сильно паогнутым крючком • • C. oresitropha sp. nov.
- 2 (1) Белренные линии брюнки укорочены, часто с косой боковой ветвью. Рисунок надкрылий иного тила, общих пятен на пиве не имеется, но сам шов часто зачерней и соединей с соседними черными пятнами (светлый шов имеется лишь у elegantula Wse, у которого темные пятив не черные, а бурые, капсула с основным крюлком, рисунок надкрылий иного типа). Сифон кончается обычно коротким крючком, загнутым на четверть круга (исключение—С. геdemita Wse).
- 2. Serangium lygaeum lablokoft-Klinzorian sp. nov. Приморский край: голотип 3—27-й км Лянчихе, 25 VIII 1937, А. Мончалский; паратин—ст. Окениская близ Владивостока, ботанический сад, 19/VIII 1959, И. Кержиер. Оба зинг в Зоологическом институте АН

С. СР. Пам также известен из ряда точек южного Причорья по сборам В. Кузнецова и личным, обычно встречается единичиыми особями на разных лиственных деревьях. По данным японских авторов виды этого рода интаются ложнощитовками из рода Ceroplistes и неготорыми Aleurodidae.

Тело черно или краспо-бурое, спизу светлее, чем сверку, эпиилевры одного цвета с надкрыльями со светлой внутренней каймой, голова и конечности желто-бурые, волосистость светлая. Длина: около 2 мм. Рис. 2, в.

Голова (родовой признак) втяжная и нормально лежит на груди. Лоб в 2 раза уже головы, рассеянно крупно и вдавленно точечный на почти гладком фоне, с единичными торчащими волосками. Усики (рис. 2, г) 9-члениковые, их 1-й членик крупный, едва длишее нирыны, 2-й в 2 раза уже 1-го. 3-й узкий и очень длинный, булава короче члеников 3 8, вместе взятых, одночлениковая, место прикрепления усиков окантовано каймой. Последиий членик челюстных щуников очень большой, овольный. Переднестника в такой же скульптуре, как лоб, со слабо закруглениям боколым краем (рис. 2, к), с окаймленным основанием, ее передние углы пыступающие, задине очень ингроко закругленные. Щиток небольшой, треугольный. Надкрылья очень выпуклые, в такой же скульптуре, как лоб, их точечность довольно равномерная, расстояние между точками в 3-6 раз больше их диаметра, волосистость очень рассеянная, легко стирается. их эпиплевры с глубокими вдавлениями для вкладывания средних п задинх бедер. Пиз рассеянно точечный на почти гладком фоне, вигде не шагрепированный, одень крупный последний стериит брюшка (7-й уростериит) очень грубо и густо точечный (рис. 2, 6). Выступ переднегруди без килей. Бедрениые линии брюшка цельные, почти то-тигают заднего края их стернита, который извилистый, с широкой плоской срединной лонастью (рис. 2, б). Поги с характерными для этого рода очень широкими и плоскими бедрами, голени без зубцов. Лапки 4-члениковые, с'очень коротким 3-м члеником, коготки с острым зубчиком.

Сифон имеет форму равномерно изогнутой трубки до вершинной трети, за которой выпрамлен (рис. 2, 0), у вершины с маленькой вырезкой (рис. 2, е), его кансула плоско лопастевядная. Тегмен (рис. 9, и) с очень длинным, узким, палочковидным трабесом, его основная часть короткая, грубка силкіснут і в совсем плоскію плістику, кончиощуюся асимметричным закруглением, у оси шання с токовой вырезкой, лостигающей се серелины, нарамеры слиты в общую плистинку, аригнутую к тегмену, с вырезвиным передиим кряем, окаймленным твумя зубчиками, несущими по пучку длинных щетинок; сбоку, со стороны, обратной вырезке трубки выступает маленький отросток, несущий пару длинных щетинок. Spiculum gastrale (рис. 2, 3) очень

широкий, 9-й гергит (рис. 2, ж.) очень большой.

Этот вид первый представитель трибы Serangiiul и рода Seran-

вішт Віасквоти в СССР, представленного в Палеврктике еще 4 видами из Японин (если не считать сіпсішт W se из южной Аравии). От S. roficolle Катіуа є красной переднестинкой и гуйкуєняє Катіуа легко отличается наличнем точек на надкрыльях, от 2 прозих видовшириной лба (которая у рипсішт Міуатаке шире, а у Јаролісит Спарій уже половины лба), от 1-го из них также светлой головой, от 2-го темными эпиплеврами, относительно более короткой булавой, от всех 4 видов—извилистым (а не прямолинейным) задним краем 3-го уростернита и по тегмену, так как у всех прочих видов вырезка у основания его тубки года до менее глубокая, вершина трубки сужена в более или менее острый зубец, парамеры слиты лишь у основания, образуя по два отрості а, по этому призняку новый вид можно рассматрилать как наиболее зволюционированный из налеарктических видов рода.

3. Stethorus (Allostethorus) amurensis lablokoff-Khazorian sbgen, et sp. nov.

Хабаровский край: голотии. 3 рр М. Пера-Б. Эргель, междур. Амур. 31 V 1958, на вижней ветье дуса в леспедениетсй дустате, Г. Зиновьев; аллотии там же, 29/VI 1958, и зарослях кустарииковых дубов, тот же сборщик. Оба типа в Зоологическом институте АН СССР.

Тело одноцветно черно-бурое, рот и конечности желтые, волоски светлые. Ланна 1,5 мм. Рис. 2, л.

Лоб в 2 раза уже головы, почти в 4 раза уже переднеслики, с несколькими вдавлениыми точкими вдоль темени и по бокам на шагренированиом фонс. Переднесинна в 1.7 раз шире длины, с тупыми и закругленными углами, ее боковой край спереди слабо изогнут, илади выпрямлен, основание двухвыемчатое, окаймленное, диск до бысового края густо волосистый, с густой, мелкой, равномерной и вдавленной толечностно на инагренированном фоне, расстояние между точ лин в 2-3 раза больше их диаметра, волосистость приподнятая и закрюченная. Шиток треугольный. Надкрылья едва длиниее общей выприна, густь точ чиме и волосистые на чин ренированном фоне, точки в 2 раза больше, чем на переднеслинке, отстоят друг от друга на 1,5-2 диаметра. Выступ переднегруди без килей. Бедренные линия брюшка изланые (рис. 2, п), параболические, заходят за середниу их стериита. Весь инз грубо и густо точечный на шагренирозанном фоне, в либах бедренных линии брюшка интренировка сглаженная.

У 5-й уростернит с небольшой плоской вырезкой. Сифон трубчатый, у веранивы с крючком (рис. 2, и), кансула мешковидная. Тегмен с длинимы назочковидным трабесом (рис. 2, о), его трубка силюснута в пластинку, вершинный кран которой вырезии очень плоской дугой.

У 7 3-и уростернит изавно вкруглен, сперматека (рес. 2, м) с длинным узель м, генитальные пластинки узко треутольные (рис. 2, p). Широко распространенный род Stethorus Wse во многих странах используется в биологическом методе борьбы против тетраникондных клещей, в Палеврктике насчитывает 16 видов (включая фауну всего Китая, Тайвана и юга Аравии, но без северной Индии). Эти виды мало отдичаются друг от друга габитуально, но резко по гениталиям, что позволяет ризделить их на 2 подрода, согласно следующей таблицы:

1 (2) Сифон очень длишший, к вершине интевидный, тегмен с очень длингой трубкой округлого сечения и длинными и узкими парамерами, вершина которых несет изчок из нескольких щетинок. Трабес короткий и изогнутый. Сперматека отсутствует (по прайней мере у всех видов, изученных в этом отвошении) - - -

Подрод Stethorus s. str.

S. punctillum Weise, 1891 (100 poza). gliviirons Muls., 1850, wollastoni Kapur, 1948, aptus Kapur, 1948, tsutsusi Nakane, 1959, japonicus Kamiya, 1959, longisiphoncelus Pang Schen-ini, 1966, cantonensis Pang Schen-ini, 1966, toi Sasayi, 1968.

2 (1) Сифон короткий и толстый, слабо изогнутый, тегмен с короткой, уплощенной лопастевидной трубкой, нарамеры широкие, с многочисленными щетниками. более или менее споицентрироганными у их вершины, траб с длинный, болсе или менее налочковидный. Сперматека иместся и пормального строения (по крайной мере у всех вудов, изученных в этом отношении) · · ·

Подрод Allostethorus she, nov. S. amurensis sp. nov. (тип). pauperculus Wse, 1895 emarginatus

Miyatake, 1966, yezoensis Miyatake, 1966, parapaupe culus Pang Schen-tui 1966, chengi Sasayi, 1968, hiroshimui Sasayi, 1968.

3 (4) Трубка тегмена образует ловасть, суженную к везшине в острый или притупленный зубец • • • • все угазанные выше виды, кроме двух,

4 (3) Трубла тегмена сплющена в пластнику, у вершины средишую и

более или менез вырезвиную.

S. (Allost.) em reginatus Miyat.

6 (б) Трубка тегмена с совсем излокой горининой вырезкой. Трабес длишее. Сифон длиниее, у вершины с резким загибом, без расширения. У в 8-й уростериит с плоской вырезкой. Сперматека и форме У, одна взтвы которого (та, которая не ет узелок) много длиниее другой. Надкрылыя едва длишее общей ширины. Белра желгые. Толечилоты плакрылый однородияя. Ам р с с S. (Allost.) лиштеных sp поу

До сих пор в СССР (и Армянской ССР) было известно лишь два вида этого розу (два первых пошего списка).

Зоологический институт Аказемии паук Арминской ССР

ա տ, ձևուուուլ-թեջորձևՆ

Կաrծrաթև-զատկարգեզների նու տեսակներ IIIIՀII-ից (Coleoptera, Coccinellidae)

Հոդվածը պարունակում է 3 նոր տեսակի զատկարդեղների նկարագրումյուն ՍՍՀՄ-ից, այդ թվում՝.

- 1. Coccinula oresitropha Khnz, sp. nov. գտնված է Ղադախատանե, Կարջանտատ յեռնայց Բայի թարթարոտ տափաստաններում։
- 2. Serangium lygaeum Khnz. sp nov. Պրիմորյան մարդ։ Դա այդ սեռի առաջին ներկայացուցիչն է ՍՄ-Մ-ում, սնվում է ըստ հրևույթին կեղծ վաւաւնակիրներով և համարվում է օգտակար։
- 3. Stethorus (Allostethorus) amurensis Khnz. sbgen. et sp nov հարարովյան մարզ, Ամուր գետի գետամիչում։ Այս սեռի տեսակները օգտա-գործվում են տետրանիխորդ տղերի ղեմ պայքարի բիոլոգիական մեքիոդներում նկարադրված տեսակը սեռի խայանի 3-րդ տեսակն է ՍՍՀԵ-ում։

LV

1972

2

Y IK 596 129 2

АКАРОЛОГИЯ

А. Т. Баг засарин

Эриофиондные клеши на фисташке (Acarina, Eriophyoidea)

(II, eactar acus (iz. Lopp) All Apasim work (II.P.) A January 14 I 1972)

В Армении на фистанике (Pisticia I.) обнаружены З вида эркофионалных клещей, из которых два оказались повыми для науки. В настоящей статье приводится описание новых гидов В цикле их развития установлено наличие зимних самок, описание которых также приводится. Размеры даются и микронах. Типы новых видов находится в коллекциях Зорлогического наститута АН Арм. ССР.

Tegonotus recki Bagdasarian, sp. n. (pnc. 1, 2).

Протогиниям самка (рис. 1). Тело веретеновидное, окраска беловатая, длина т. ла 155 (12 165), ширина 5 г (12 55), Дорзальный щит обычно гладкий, по бывнот и особи, у которых адмеднаниме и субмеднаниме линии слабо выражены; длина щитка 34 (39-37), ширина 49 (49-42). Лобиый высты дорзального щитка крупьый, длина его 6 (6-8), ширина еболу (в середи 1.) 1 (3-5). На генятальном клапане 12 (12-13) продольных ланий, длина клапана 8 (8 10), поприна 19 (19 20). На лапках пог подкоготковая пістинка имеется. Эмподий пог с 4 парами лучей, Спинкых полукомыца гист росомы гладкие, по величние не раваме; число их 17, из них 5 круппые (япирина их 7 13), 8 средней в личины (ширина вх 1-5) и 1 хрестовые мелкие (ширина их не больше 2). Между крупными по лукольцами иместся по одному полукольцу средней величины, за исключением первых двух круппых полуколец, между которыми всегда имсются 2 волукольца средней и личины За последним крупным полукольцом (ширина которого доходит до 7) идут подряд полукельна средней величины. Брюшные полукольна челкие и покрыты округлыми микробугорками число их 58 (52 63). От тазиков вог до латеральных щетниок число брюшных полуколен 11 (9-10). от латеральных до вентральных щетинок I 11 (10 12), от вентральшах I до вентральных II 15 (12 16), от вентральных II до вентраль ных III 18 (16—19), от вентральных III до каудальных остинок 5. Между тазикали пот и генитальным отверствем имеется 3 брюшных

полукольца. Латеральные щ тинки находятся на 49 (45-51), вентральные щетинки I на 38 (35-39), в ятральные II на 23 (21-24), вентральные III на 5 брюшных полукольцах, счита і сзади. Акцессорные щетники имеются, длина их 3-4.

Размеры. Данна к анц ра 11 (13—16). Данна пот 1 26 (23—26), голени 1 6 (5—6), лапки 1 6 (5—6), коготка 1 6 (6—7). Данна пот 11 24 (22—24), голени II 4.5 (1—5), лапки II 5 (5—5.5), коготка II 6 (6—7). Данна тазиковых щетикок вог: щетика 1 26 (26—30), II 10 (8—10), III 38 (35—49). Данна щетикок идиосомы: s. dors. 11 (11—13) (расстояние между ими 39—35), s. gen. 20 (20—22) (расстояние между ими 12—14), s. lat. 17 (15—20), s. vent. I 55 (49—55), II 12 (10—13), III 22 (20—23), s. caud. 70 (65—75).

Дейтогинная самки (рис. 2). Тело черпеобразное, окраска беловатая, длина т. да 130 (12 - 150), ширина 50 (50 - 60). Дорзадыный шит проподосомы гладкий, данаа сто 32 (39-34). Лобиый пыступ цитка узкий, длига 5 (5-6), ширина сбоку (в середине) 1 (1--1,5). На лапках вог подкоготковая щетника имеется. Эмподий пог с 4 парами лучей. Гонитальный клапан с 12 (12 13) продольными линиями. Гистеросома почти равнокольтитал, стилные полукольца гладкие, а брюшные покрыты микробугорками. Число спинных полуколец-41 (39-41), ширина их 2 (2.5-3). Часло брюшиых полуколец 55 (51-56), ширина их 1 (1-1,5). Число брюшинх полуколец от тазиков ног до латаральных питинок 8 (7-8), от латаральных до вентральных щетинок І 13 (12-13), ет ва тральных І до вентральных ІІ 15 (13 15), от вентральных II до вентральных III 11 (13 16), от вентральных III до каудальчых истивок 5. Между тазиками ког и генитальным отверстием число брюшных полуколец 3. Считая свади тела латеральные щетивы находятся на 47 (43-18), вентральные Г на 34 (31-36), вытральных II на 19 (18-21), вентральные III на 5 брюшных полукольцах. Акцессорные щетилки имеются,

Размеры Длина клангра 17 (16—2)) Дляна пот I 29 (28—29), голени I 6.5, данки I 6.5, коготка I 7 Длина пот II 27 (26—27), голени II 5.5, данки II 6, коготка II 7. Длина истинок идиосомы: s. dors. 19 (19—22). s. gen. 25 (11—25), s. vent. I 35 (35—19), s. vent. II 16 (15—17), s. vent. III 25 (25—27), s. cand. 85 (81—91), s. acces. 3.

Деятогизная самка хорошо отличается от протогинной самки по форме гла, по числу и и личии спинных полуколей гистеросомы, а также по исличине добного выст на, по длине дорзалыных истинок и по ряду других морфологических признаков.

Самен. Тело врт ювилис, плоское; дляна тела 130 (115—130), ширяна 41 (3)—14 — Число стиланах полукол и 16 (16—17), брюшных 51 (18—52).

Размеры. Длила лицера 15 (13—15) Длина пот 1 22 (22—23), нот II 24 (24—21) Плина пистиков идиосомы в dors, 11—12 (расстояние между пи и 22—25), s gen 17—18 (расстояние между

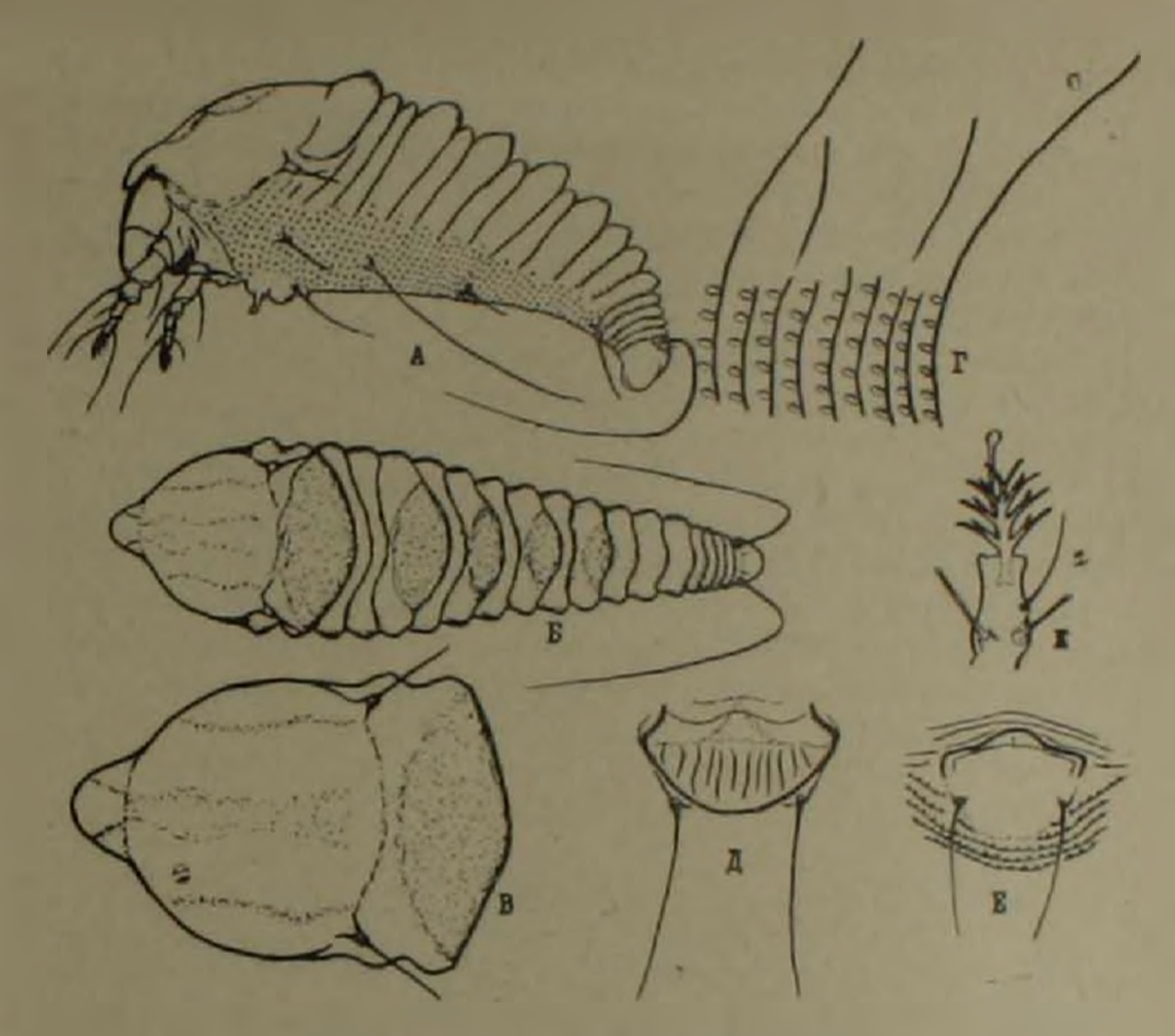


Рис 1. Tegenotus reckt Bagdasarian, sp. n.
А -протогинная самка сбоку; А притогинная самка со спинной стороны В доржавный щит с метинками. Г сишнь е и брюшные полутозыца: Д -генитальный слапан
самки; В тенитальный кланай сами»; Ж дапка ноги с эмподнем

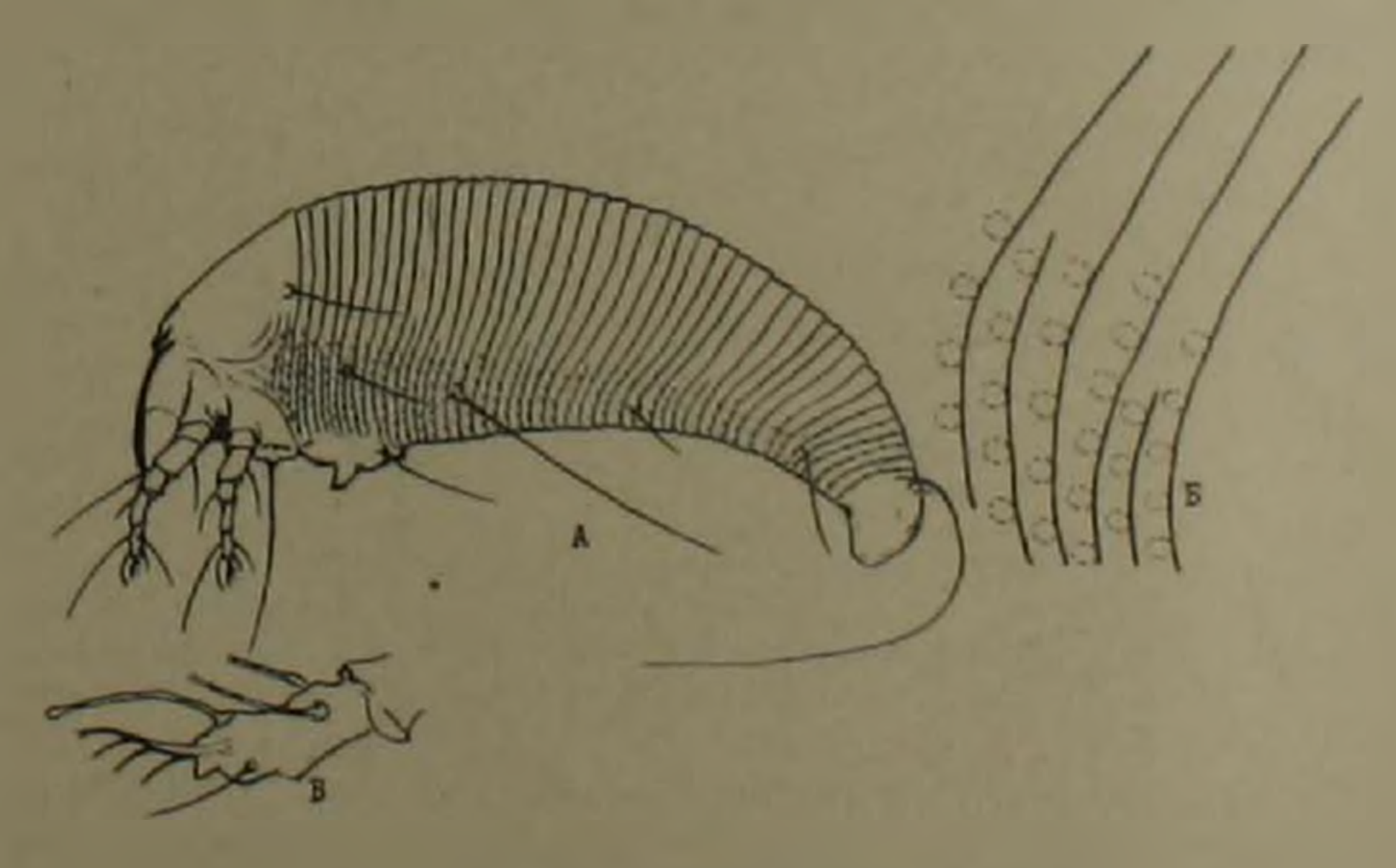


Рис. 2. Tegonotus reckt Bagdasarian, эр п А дейтогишан самка сбоку; Б спишнае и брюшиме и мукольца. В запка погл с эмподием

инмв 10—12), s. lat. 2) (19—2)), s. vent. I 45 (4)—45), s. vent. II 10 (10—11), s. vent. III 20 (18—2)), s. caud, 69 (6)—65).

Клещ обитает на вижних сторовах листьей фистания (Pisticia mutica Fisch et Mey), в основном на центральной жилке. Зимуст закрыто, главным образом, под щитовками (Pistaciaspis pistacicola Borchs.), живущими на почках фистания. Пистда зимине самки встречаются в очень защищениях местах побегов. Под чешуйками почек зимине самки не обнаружены.

Собран из окрестностей ж. д. ст. Айрум (18 V 1966, 13 VIII 1968, 13 VII 1970, 9/XI 1970) Посмберятского района.

Голотии в препарат. № 1196 (1) (13.VIII 1970), аллотии в препарат. №1192 (1) (13/VII 1970), паратины в препаратах №№ 1192 (1, 2) (13/VII 1970), 672 (1, 2) (18/V/1966), 1196 (1, 2) (13/VII 1968), Дейто-гишные самки в пр_паратах №№1225 (9/X 1970), 1233 (1,2.3) (9/XI 1970).

Новый вид. Tegonotus recki Bagdasarian, sp. п., хорошо отличается от всех изв.стных видон рода Tegonotus Nal. строением спинных гистеросомальных полуколец. Возможно в дальнейшем будет выделен как новый род.

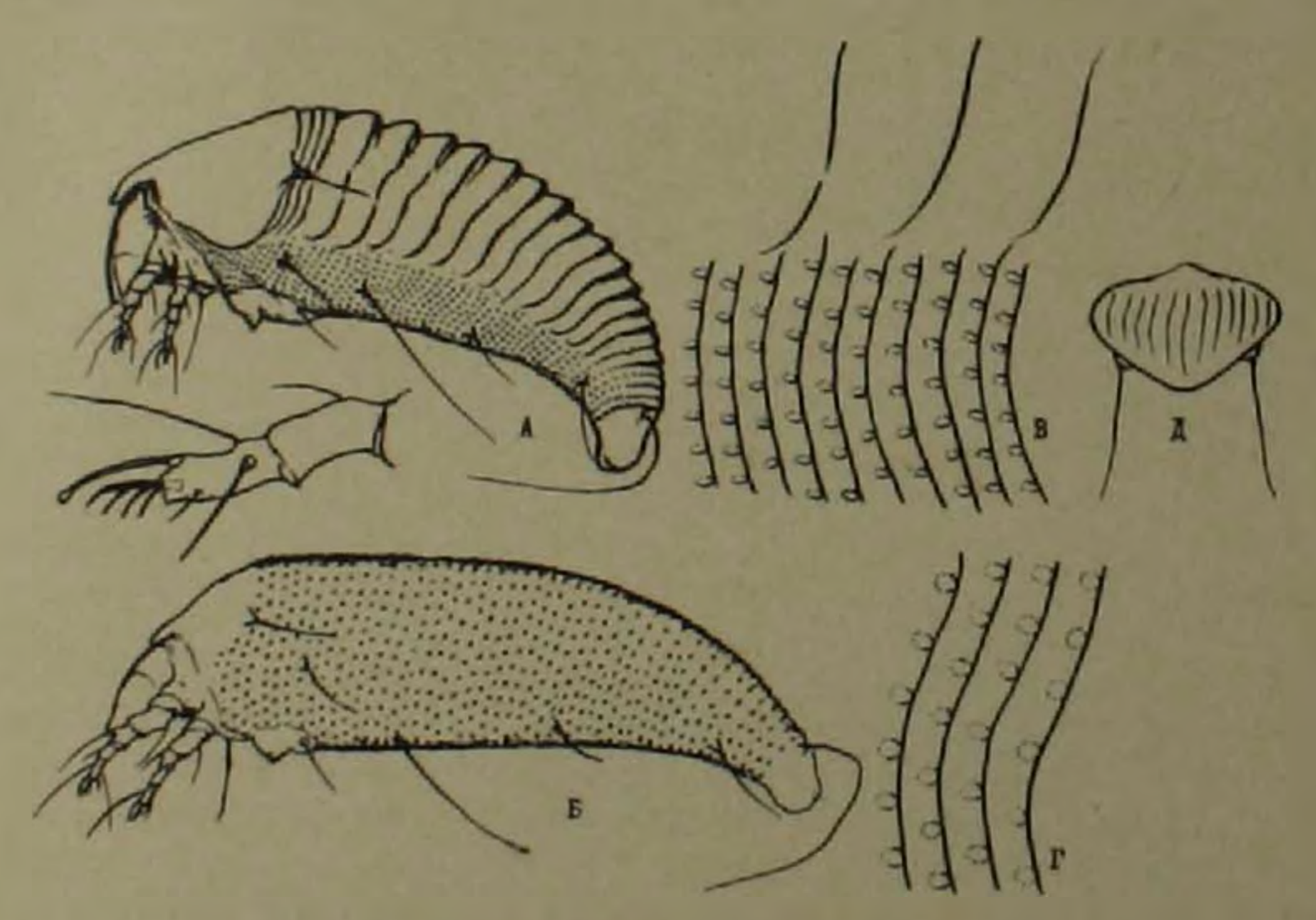


Рис. 3 Heterotergum slievtchenkot Bagdasartan, sp. п. — прототивная самка сбоку. B спиниме и брюшные полукольца прототивной самки; F — синивые и брюшиме полукольца дейтогиниой самы, μ — генитальный кампан самки

Heterotergum shevtchenkol Bagdasartan sp. в. (рис. 3) Протогивная самка (рис. 3, A) Тело широковерстеновидпроподосомы гладкий, длина щитка 32 (28—32). Лобиый выступ щитка хорошо выражев, длина его 5 (5 7), инрига сбок (в середине) 2.5 (2.5—3). На ланках пог подкоготковая щетнека им тем. Эмподий ног с 4 парами лучей. На кланане генитил пого отверстия линий не имеется. Спинные полукольна туст, росомы гла выне, крупные, за исключением 3 нередних, 4 хвостовых, которые по сравнению с другими очень маленькие (ширина их 1,5-2). Спереди газад ширина круппых спишных полуколец заметно уменьшается; ширяна самых крупных сининых полуколец 10, а самых мелких 4. Число сининых полуколец 22 (22 - 23). Брюшные полукольца мелкие (ширина их 1 - 1.5), покрыты округлыми микробугорками. Число брюшвых полуколец гистеросомы 52 (49 52). От тазиков пог до лат рад ных истипок число брюшшых полуколец 8 (8 9), от латеральных до вентральных щетивок I 10 (9-10), от вситральных I до вситральных II 14 (12-14), от вентральных II до вентральных III 15 (14—15), от вентральных III до каудальных щетинок 5. Считая сзали тела латеральные щетинки находятся на 43 (42-44), вентральные истинки 1 на 33 (32-33), II на 20 (19-20). Ш на 5 брюшных полукольцах. Акцессорных истинок не имеется.

Размеры. Длина хелицера 18 (16—18). Длина пот 1—23 (22—23), голени I 5 (4—5), ланки I 5 (4,5—5), коготка 17. Длина пот II 20 (19—21), голени II 4 (3,5—4), ланки II 5 (4—5), коготка II — Длина цетинок идиосомы: s—dors, 16 (14—16), s, gen, 15 (12—15) s—lat-15 (10—15), s, vent, I—36 (30—36). II—15 (10—15), III—20 (15—20) s, caud, 50 (40—60).

Дейтогинияя самка (рис. 3.5). Тело узковерстеновидное, длина тела 140 (135—140), ширина 45 (40—45). Лобный выступ хорошо ныражен; длина выступа (сбоку) 5 (5—6), ширина (в середине) 2.5 (2—2.5). На дорзальном щитке лигий не имеется Подкоготковая шетинка на ланках ног имеется. Эмподий пог с 4 нарами лучей Генитальный кланан с линиями, число их 11—12. Полукольца гистеросомы как со спинной, так и с брюшной стороны и крыты микробугорками. Число спинных полуколец 42 (40—43), брюшных 51 (49—52). От тазиков ног до латеральных шетинок 8 (8—9), от латеральных по вентральных шетинок 1 9 (9—10), от вентральных 1 до вентральных 11 14 (14—151, от вентральных 11 до яентральных 11 до яентральных 11 до каудальных щетинок 5 (5—6). Латеральные щетинки находятся на 43 (41—43), вентральные щетинки 1 на 34 (32—34), 11 на 20 (19—20). П1 на 5 (5—6) брюшных полукольцах, считая сзацитела. Акцессорных щетинок не имеется

Размеры. Длина хелицер 18 (17—19). Длина дормального щитка 27 (27—28). Длина нот 1 25 (24—26), нот И 22 (20—22). Длина на щетинок идиосомы: s. dors. 17 (17—20), s. vent. 1 35 (31—36), И 10 (10—12). И 18 (15—18), s. caud 50 (40—50)

Дейтогинная самка хорошо отличается от протогинной самки но-

числу спинных полуколец и их бугорчатости, а также по величине дорзальных щетинок.

Обитает на пижней стороне листьев фистанки, главныя образом и области центральной жимка. Зимует под чешуйкими почки,

Собран из окрестностей с. Карчеван (23 VII 1970) и пос. Мегри (24 VII 1970) Мегринского ранона

Толотии в препарате № 1201 (23 VII 1870), паратины в препаратах № 1199 (24 VII 1970), 1201 (23/VII 1970). Дейтогинные самын в препарате № 1221 (23 IX 1970).

Новый вид по форме тела и по числу спинных полуколец похож на Петеготеги и дозгурії К., а по часлу передних мелких с пинных гистеросомальных полуколец ня Петеготегии wilsoni К. Однако от обоих указанных видов няш вид хорошо отличается по строению эмподия із П. wilsoni эмподий с 6-ю, а у П. gossypli с 5-ю парами лучей). Кроме эмподии, повый вид от П. wilsoni хорошо отличается числом спинных полуколец (их 11), в от П. gossypli числом мелких передних спинных полуколец.

Acerla stef mi! (Nal.)

Вызывает скручивание краев листа фистанки вверх.

Собран в окрестностях с. Карчеван (23,VII 1970) и пос. М гри (24/VII 1971) Мегринского района.

Распространение: СССР (Кааказ), Пталия, Канарские острова, Малая Азия

Зоологический институт Академии наук Армянской ССР

և 8. բազգանաբան

Thummhtime Lehnalinhy mater (Acarina, Eriophys) dea)

Հայաստանում պիստակննու (Pistacia L) վրա էրիոֆիոիդ արև չայտնաբերվել է երեթ տեսակ, որոնցից երկուսը նոր են դիտության մամար և ոոոնց նկարագրությունը տրվում է ներկա Հուվածում։ Երկու նոր տեսակի ցիկլում `այտնաբերվել են ձժեռային էգեր, որոնց նկարագրությունը նույնպես տրվում է այս Հոցվածում։

Տգերի չափերը տրվում են միկրոններով։

Նկարագրվող տեսակների տիպերը պահվում են Հայկական ՍՍՀ ԳԱ Կենդանարանական ինստիտուտի հավաքածուներում։

